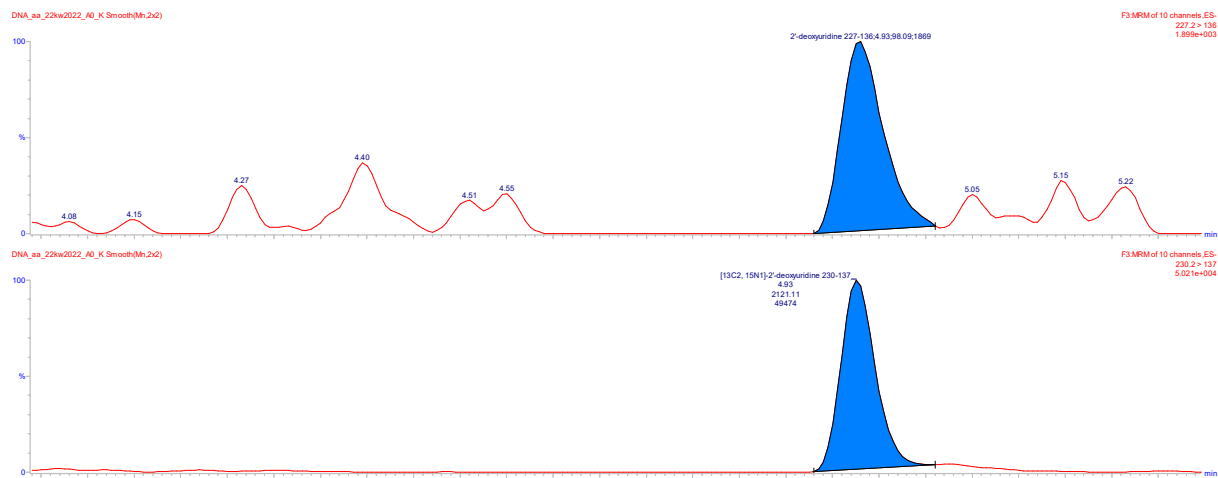


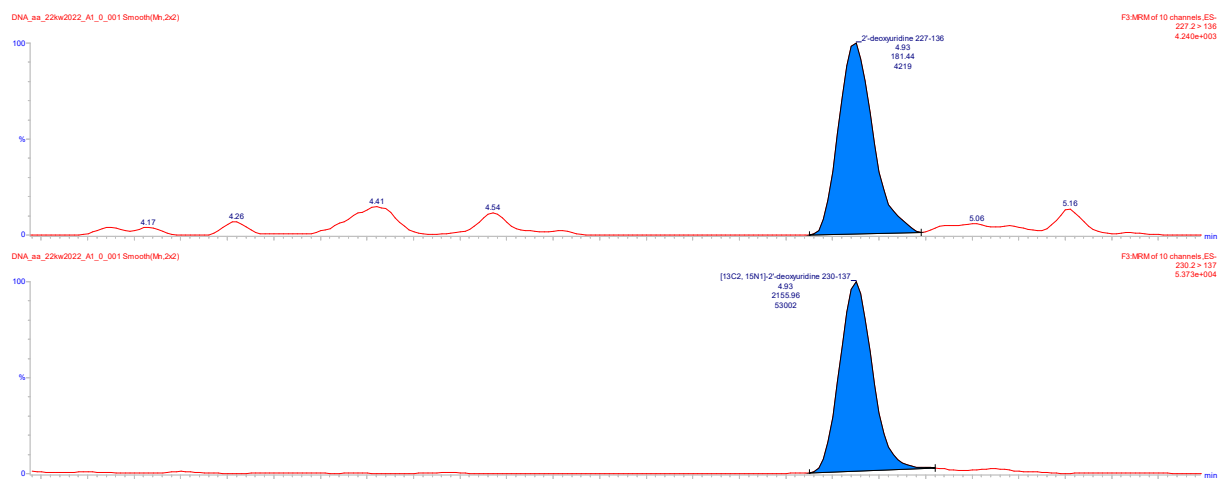
22 kwietnia 2022 series 1

dU/10e6dN

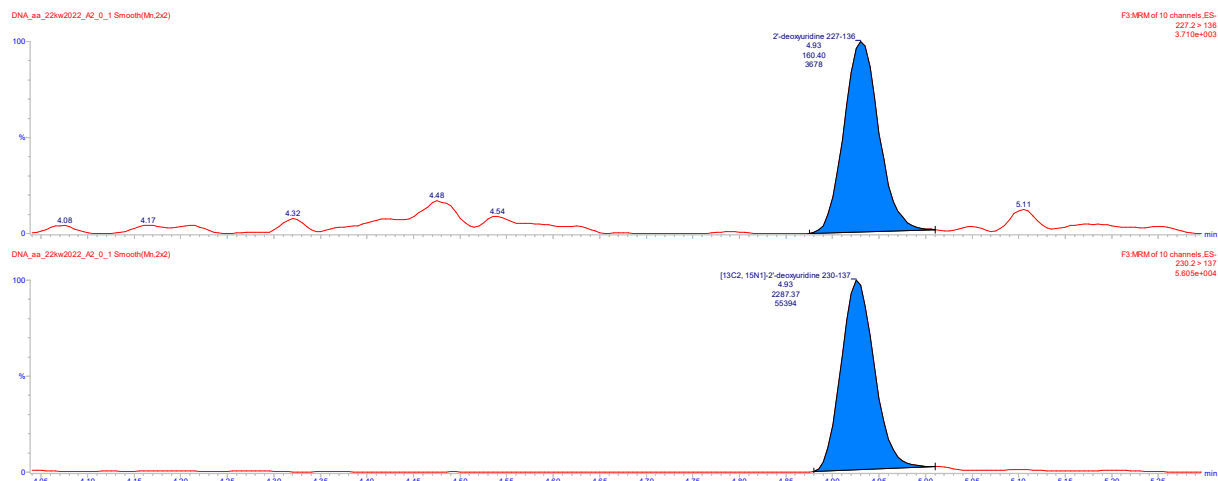
PS NP 29 nm Control



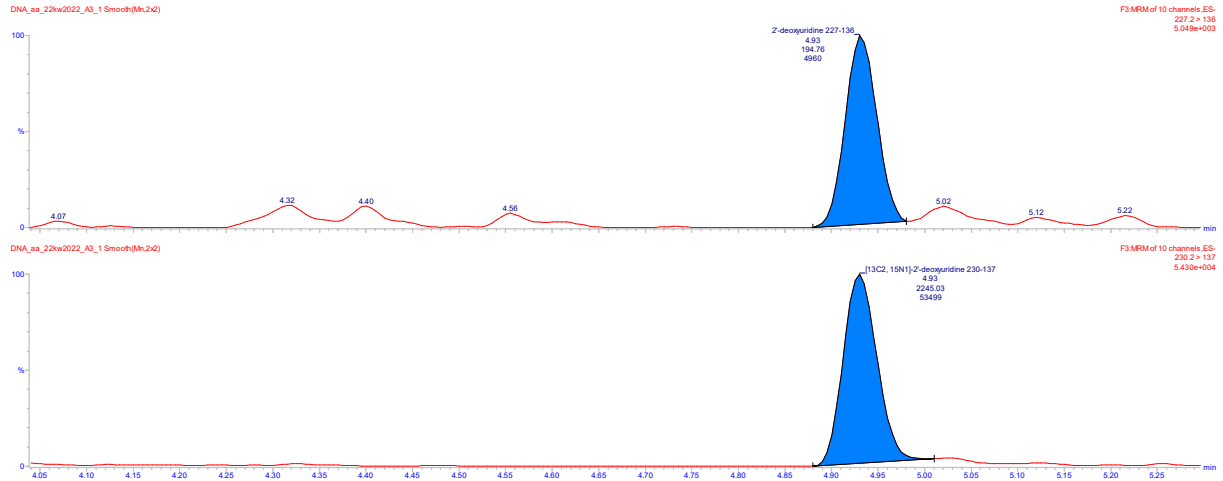
PS NP 29 nm 0,001 µg/ml



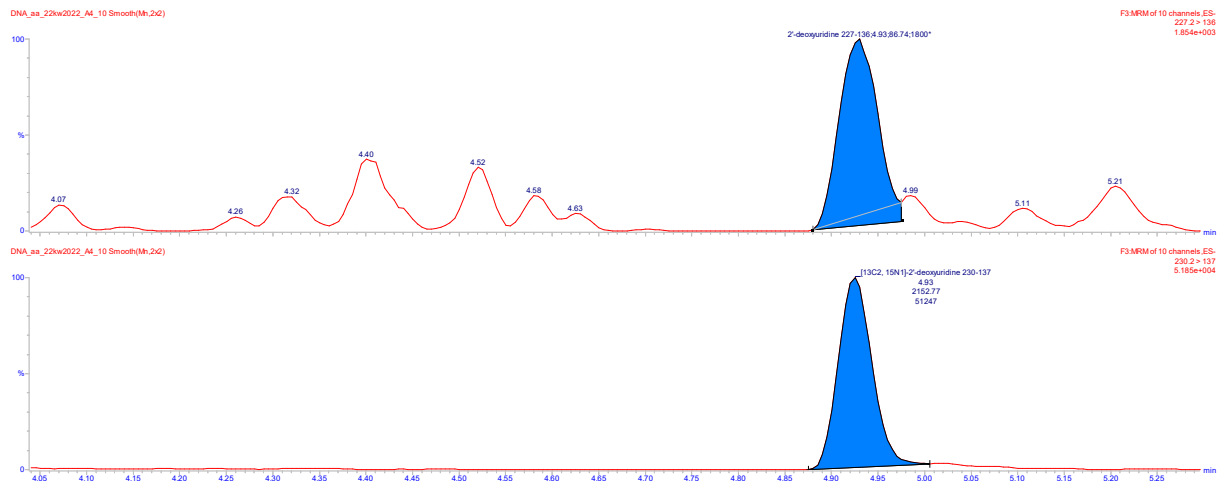
PS NP 29 nm 0,1 µg/ml



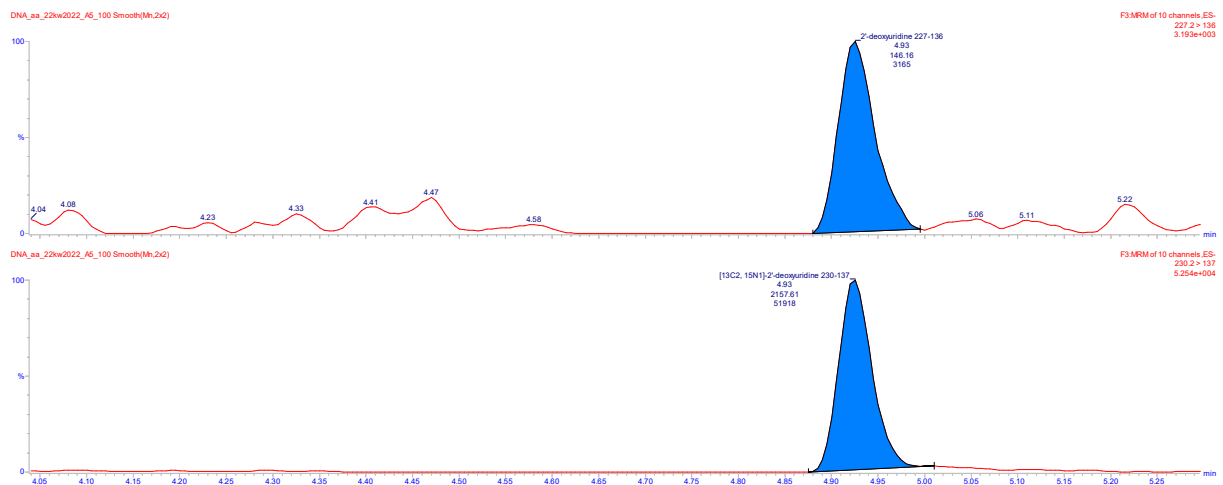
PS NP 29 nm 1 µg/ml



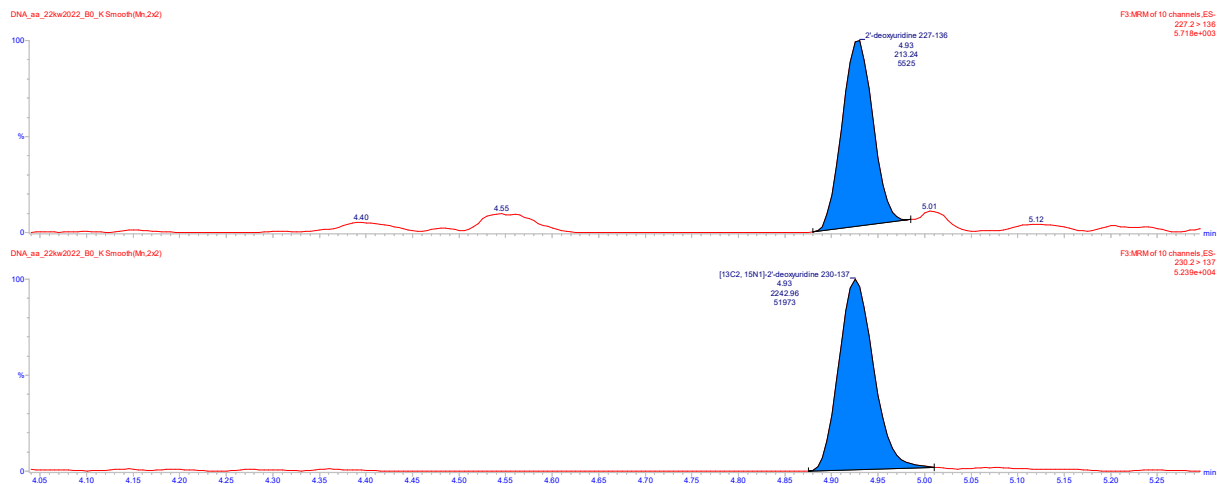
PS NP 29 nm 10 µg/ml



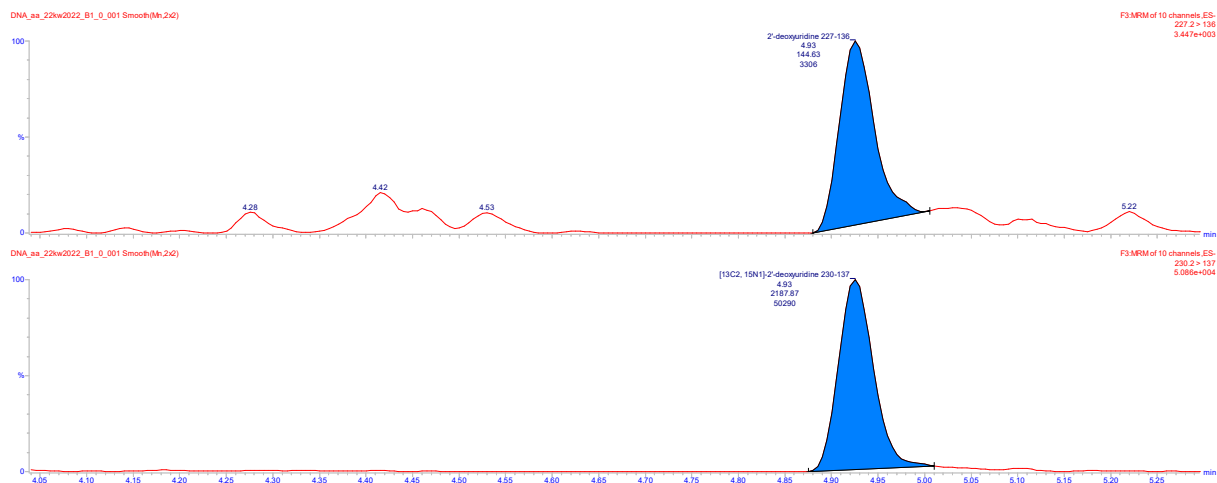
PS NP 29 nm 100 µg/ml



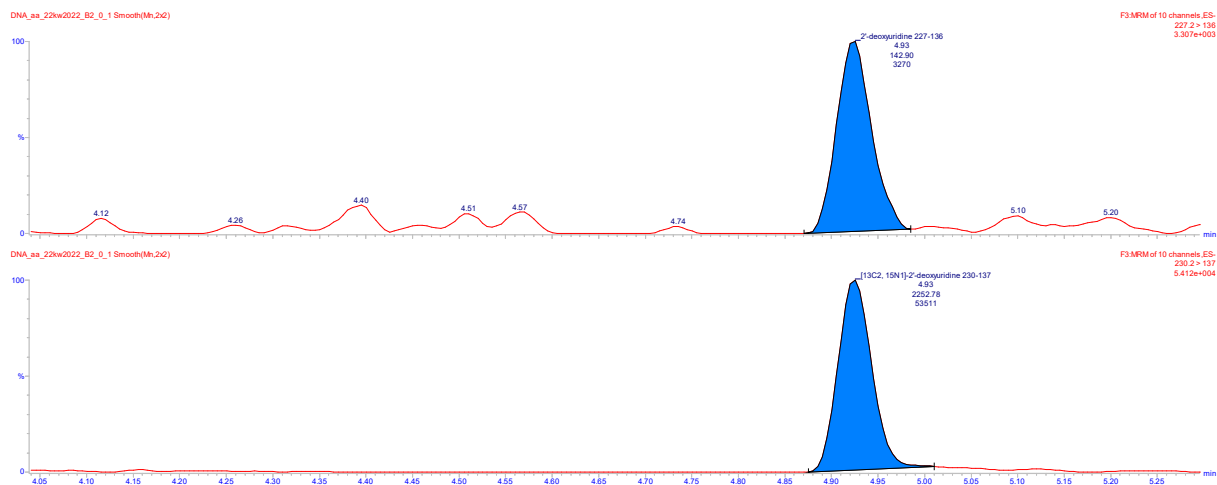
PS NP 44 nm Control



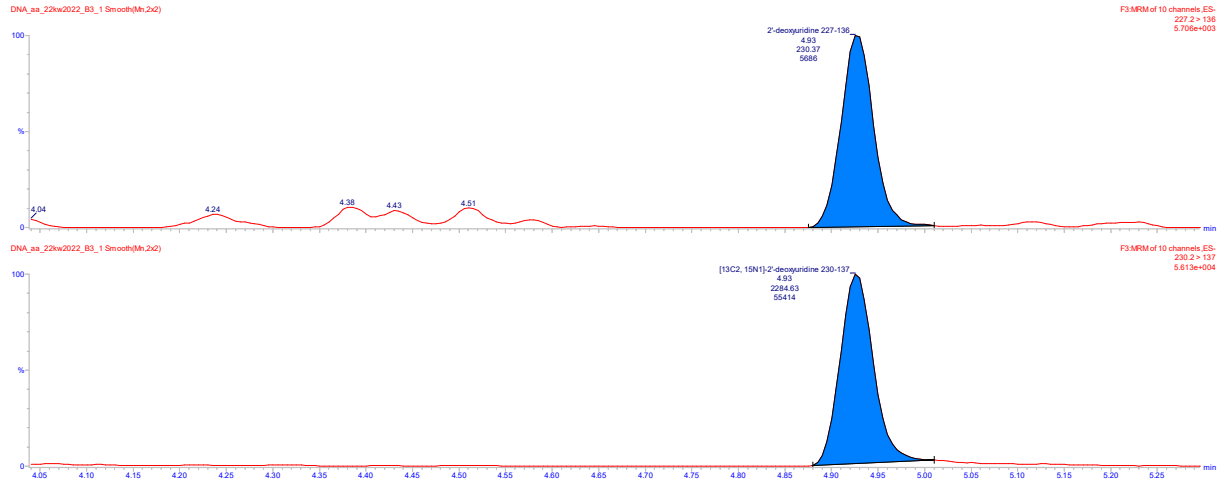
PS NP 44 nm 0,001 µg/ml



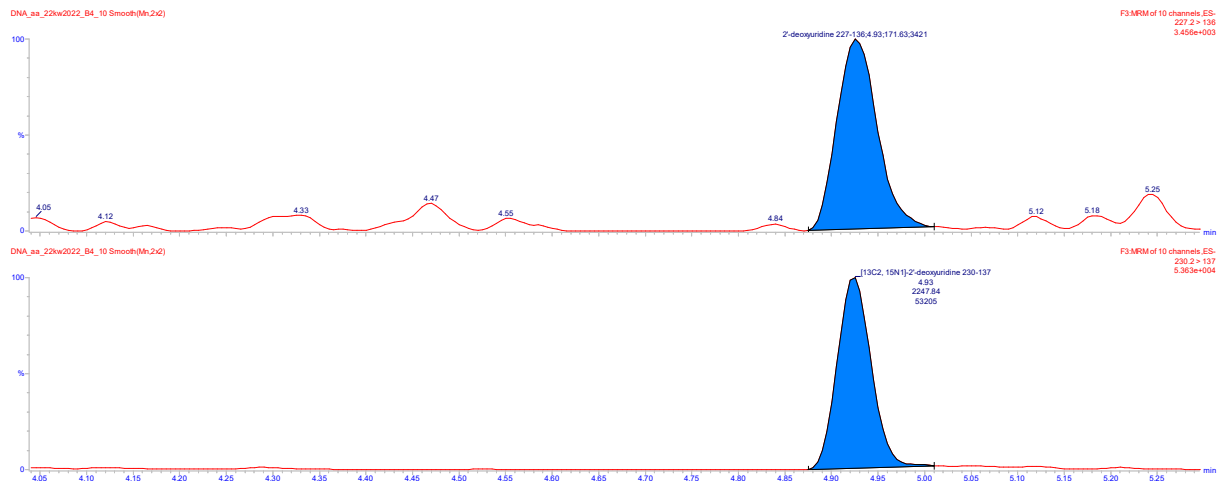
PS NP 44 nm 0,1 µg/ml



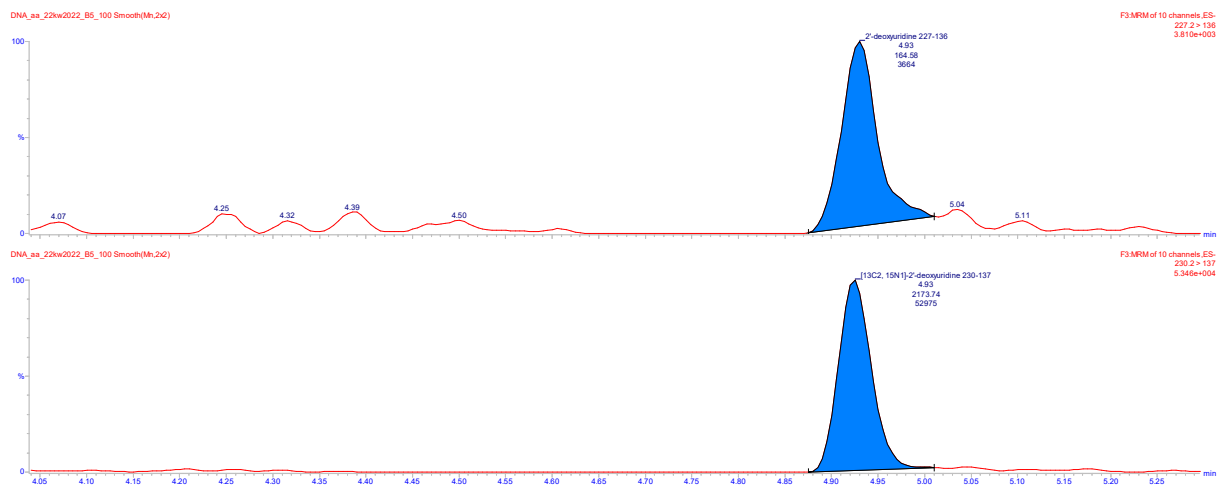
PS NP 44 nm 1 µg/ml



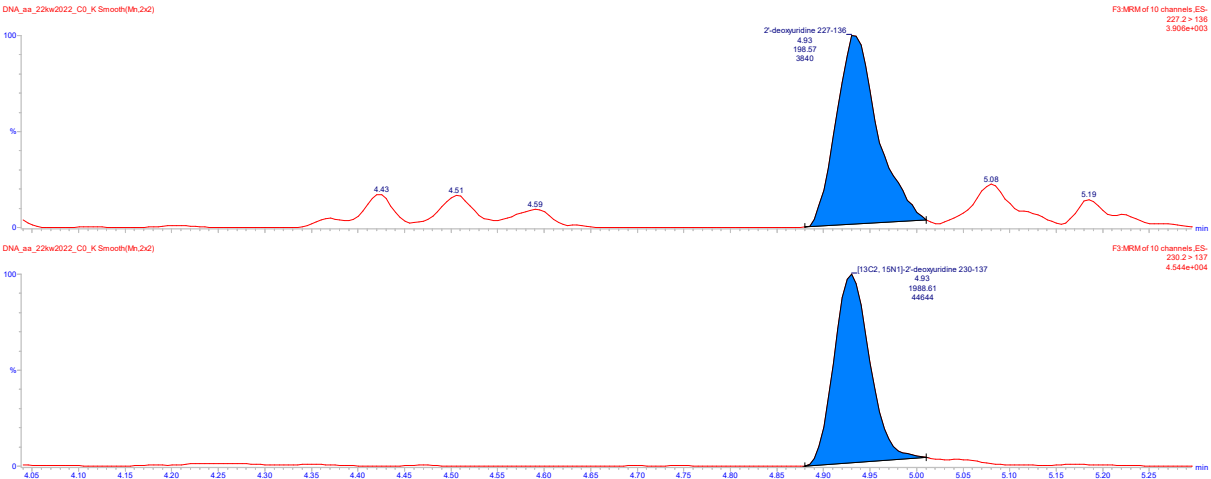
PS NP 44 nm 10 µg/ml



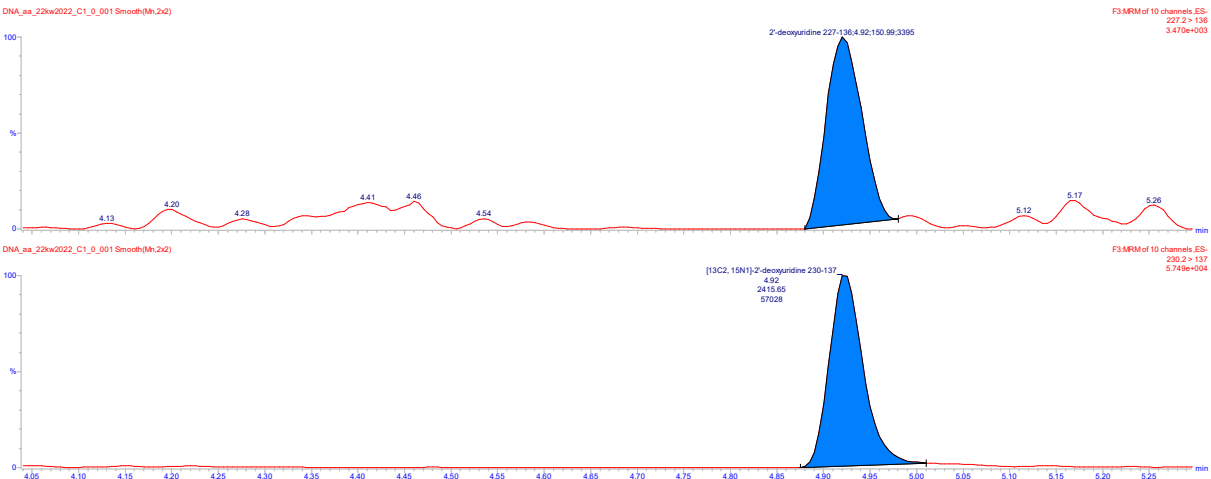
PS NP 29 nm 100 µg/ml



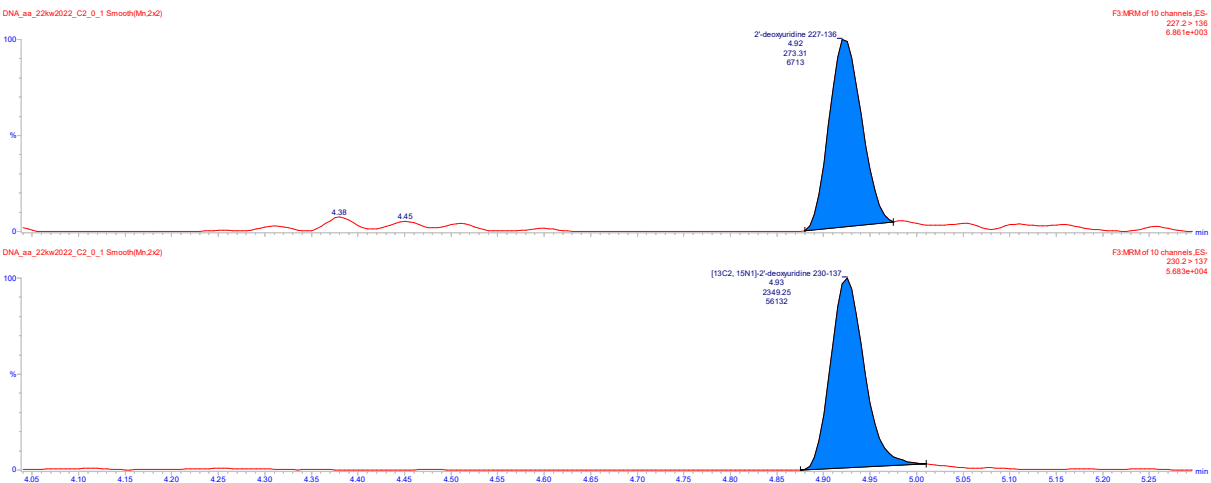
PS NP 72 nm Control



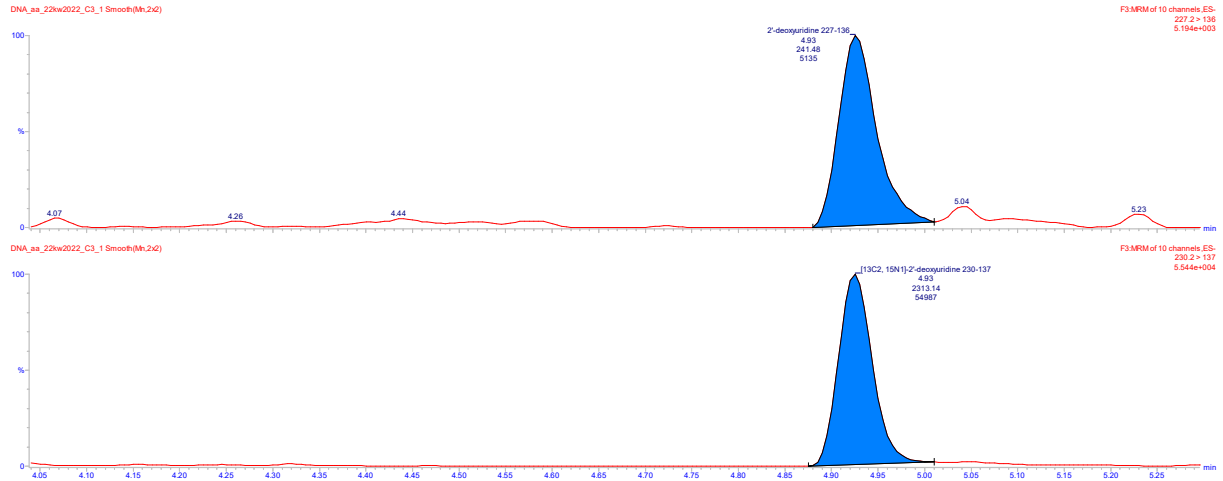
PS NP 72 nm 0,001 µg/ml



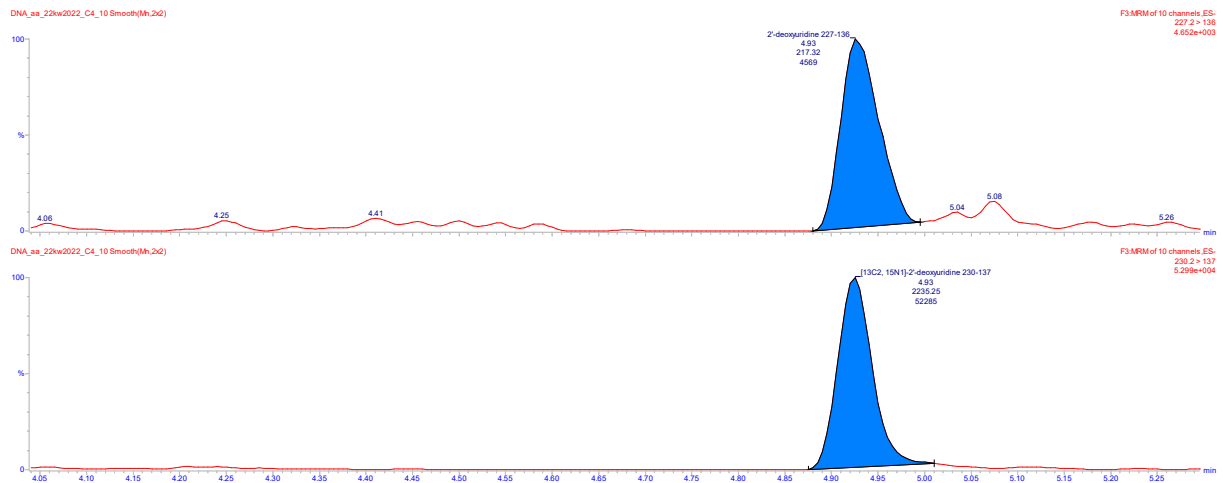
PS NP 72 nm 0,1 µg/ml



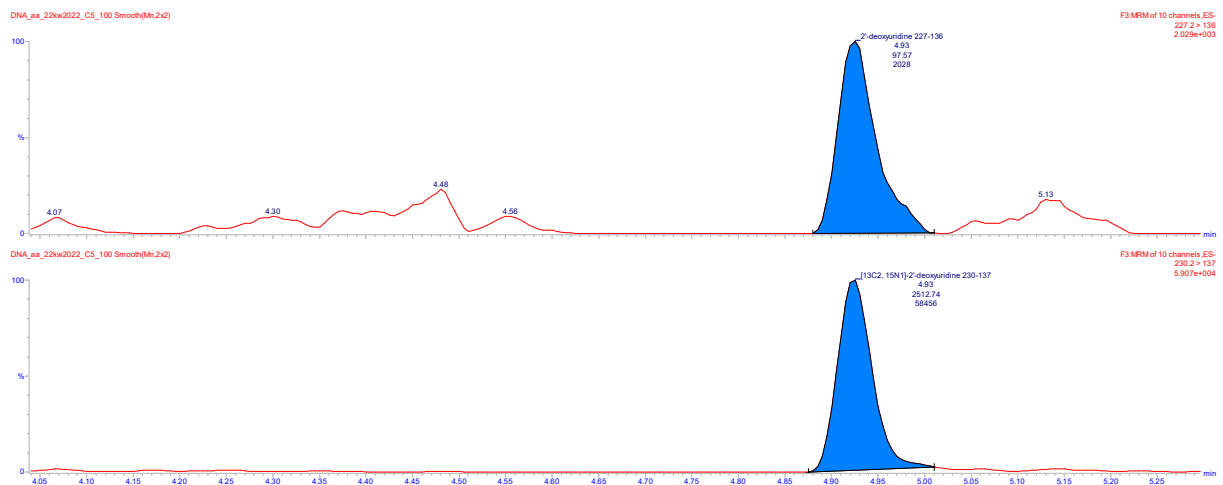
PS NP 72 nm 1 µg/ml



PS NP 72 nm 10 µg/ml

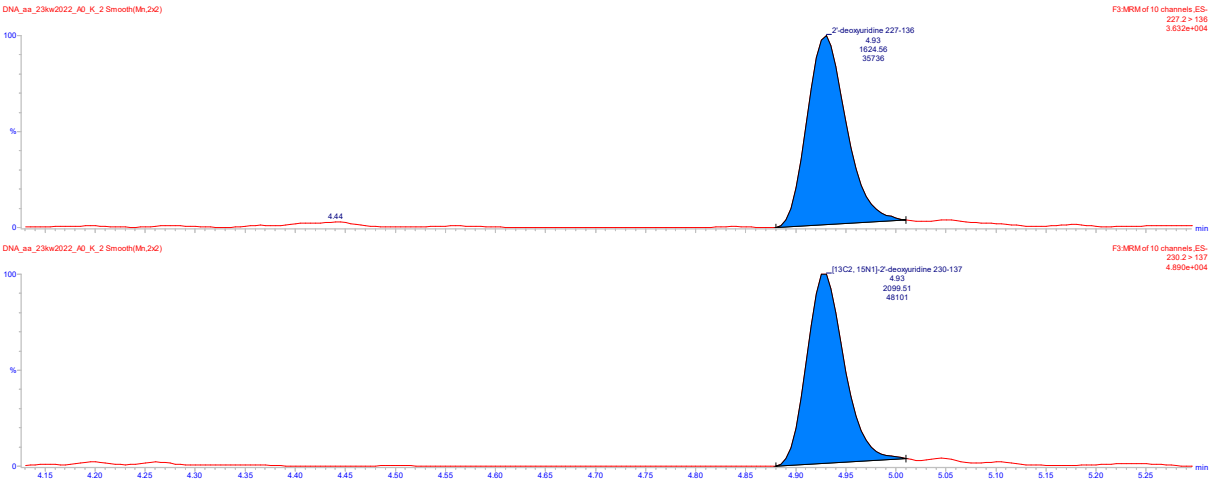


PS NP 72 nm 100 µg/ml

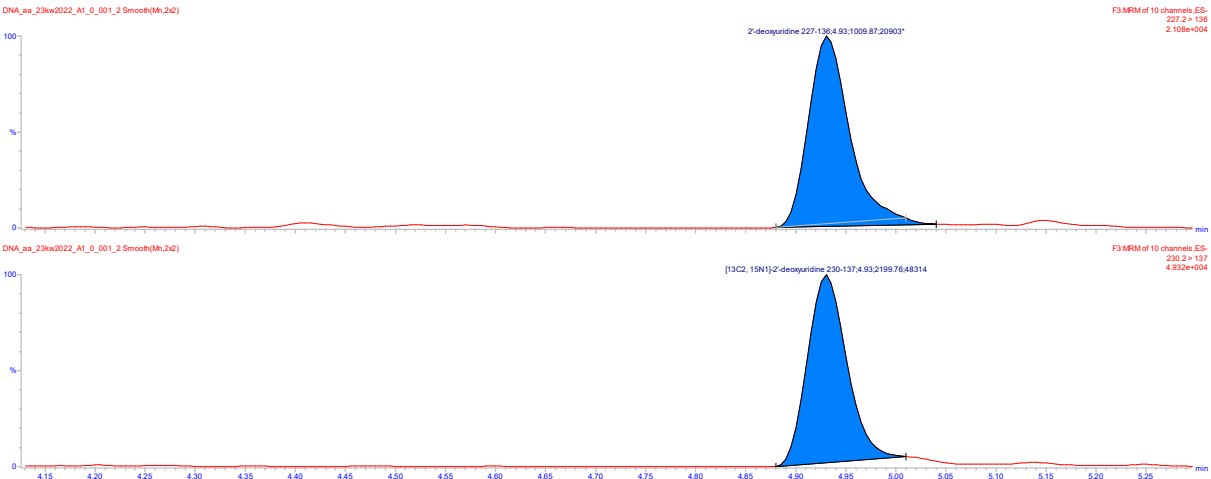


23 kwietnia 2022 series 2

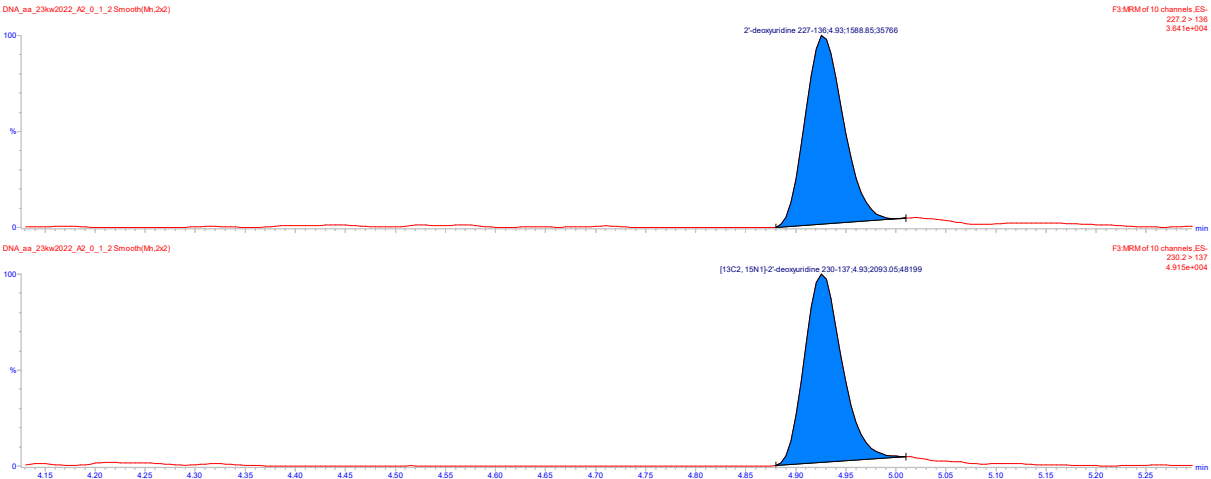
PS NP 29 nm Control



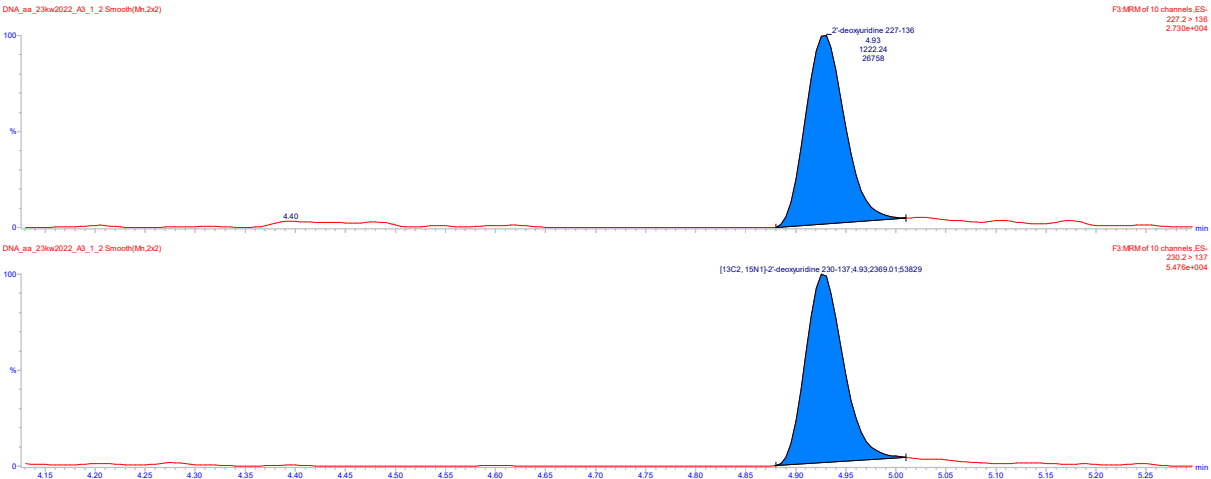
PS NP 29 nm 0,001 µg/ml



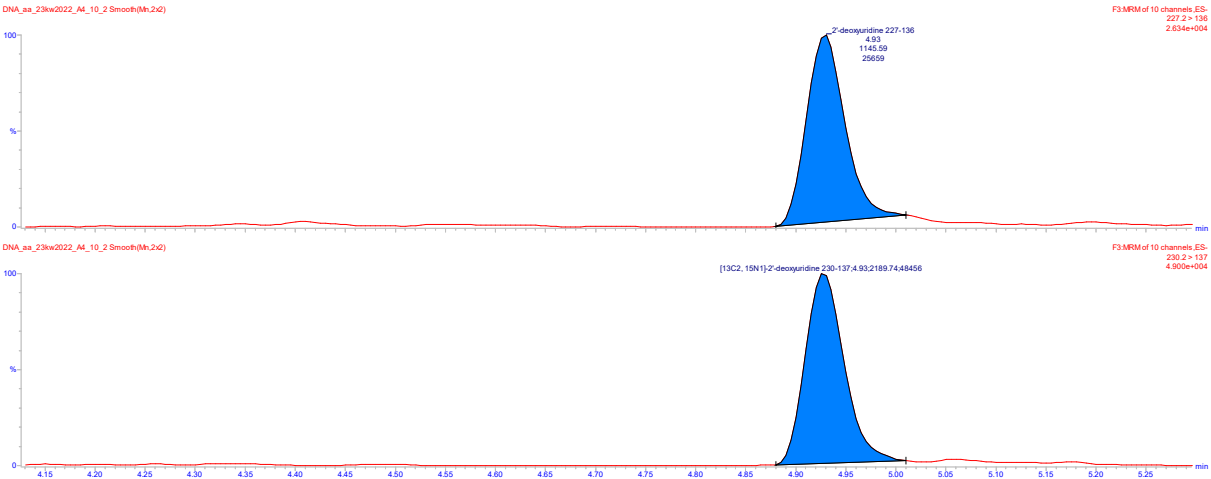
PS NP 29 nm 0,1 µg/ml



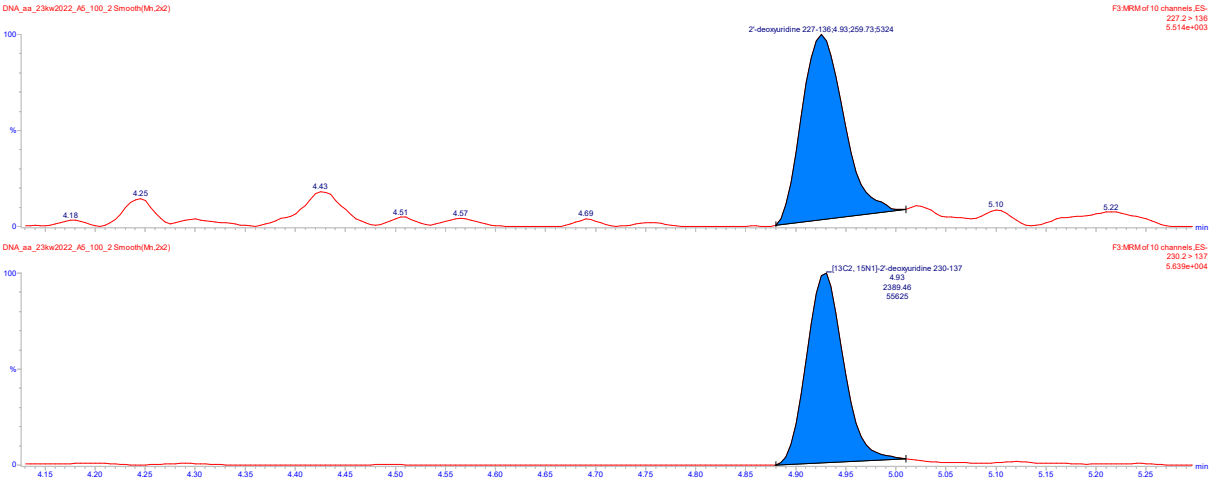
PS NP 29 nm 1 µg/ml



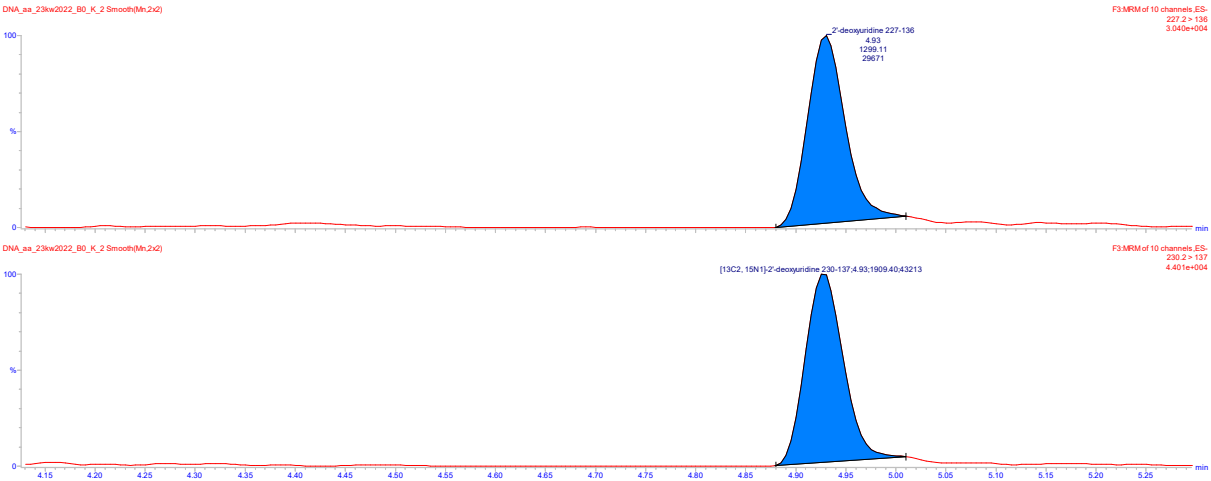
PS NP 29 nm 10 µg/ml



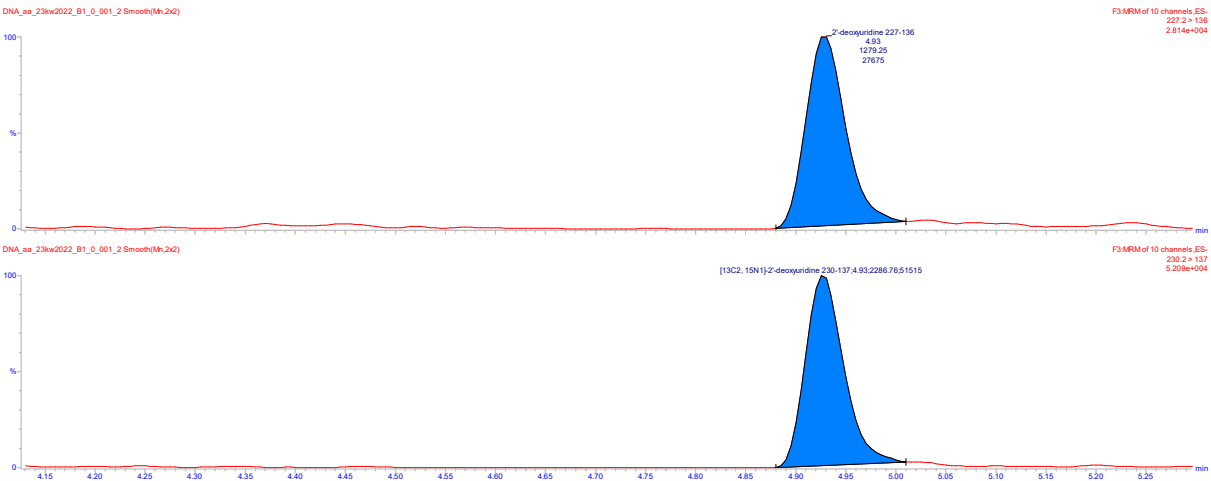
PS NP 29 nm 100 µg/ml



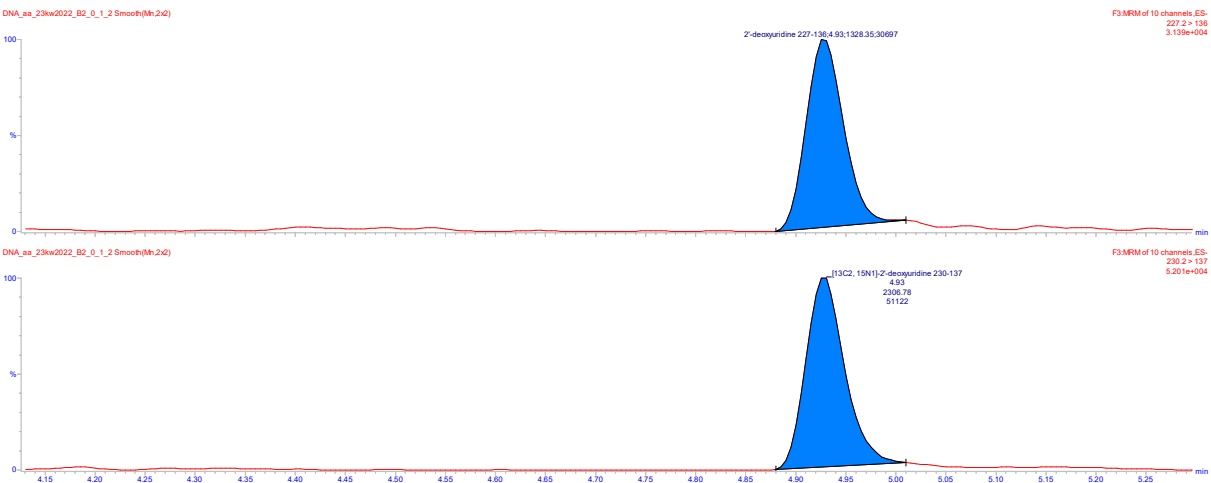
PS NP 44 nm Control



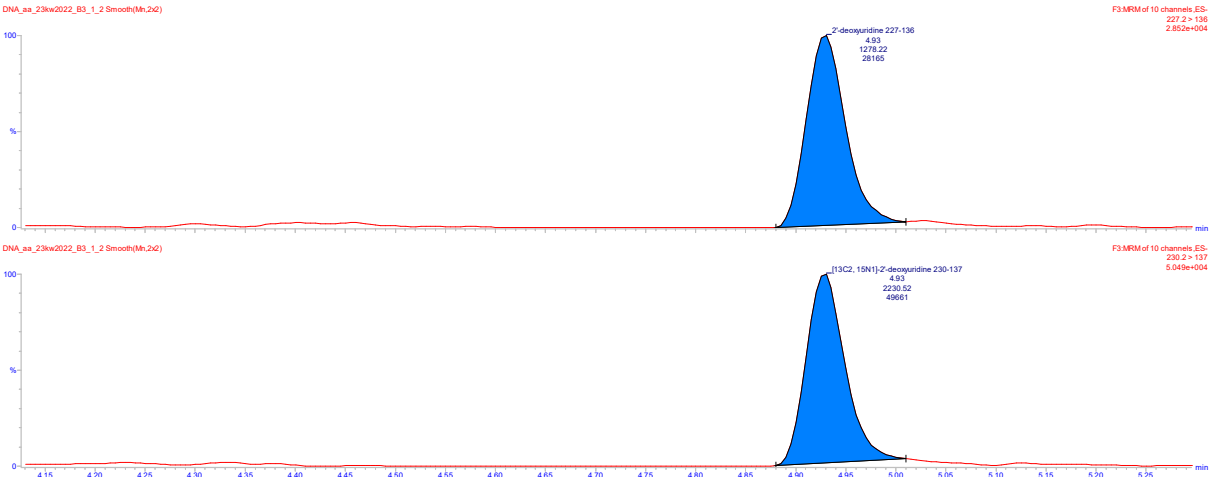
PS NP 44 nm 0,001 µg/ml



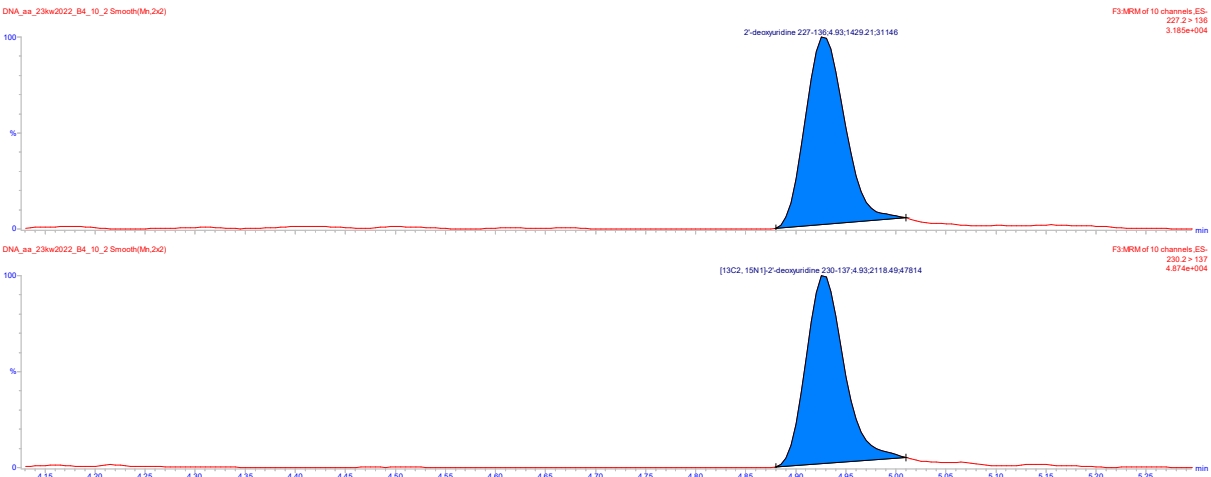
PS NP 44 nm 0,1 µg/ml



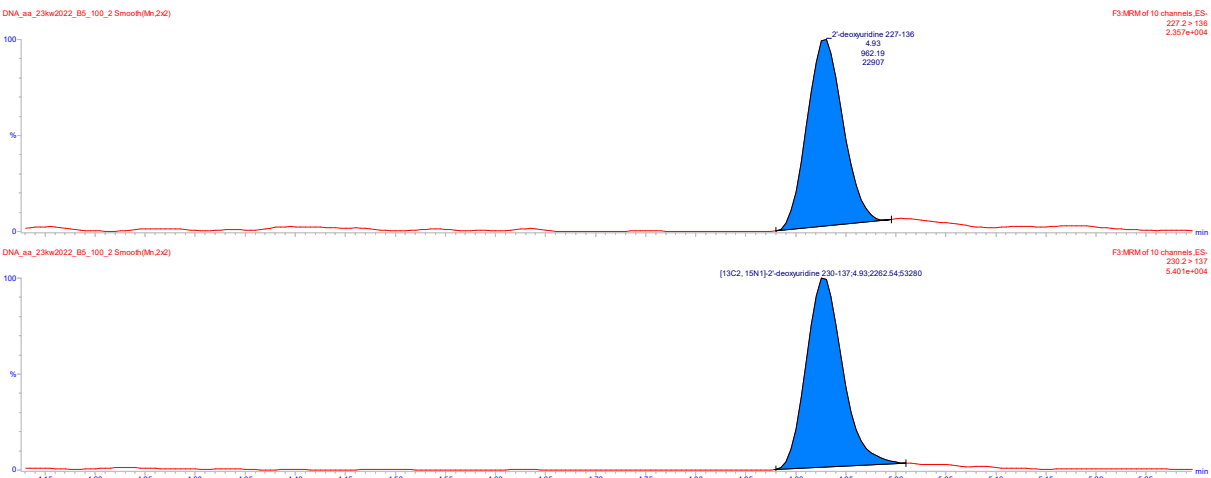
PS NP 44 nm 1 µg/ml



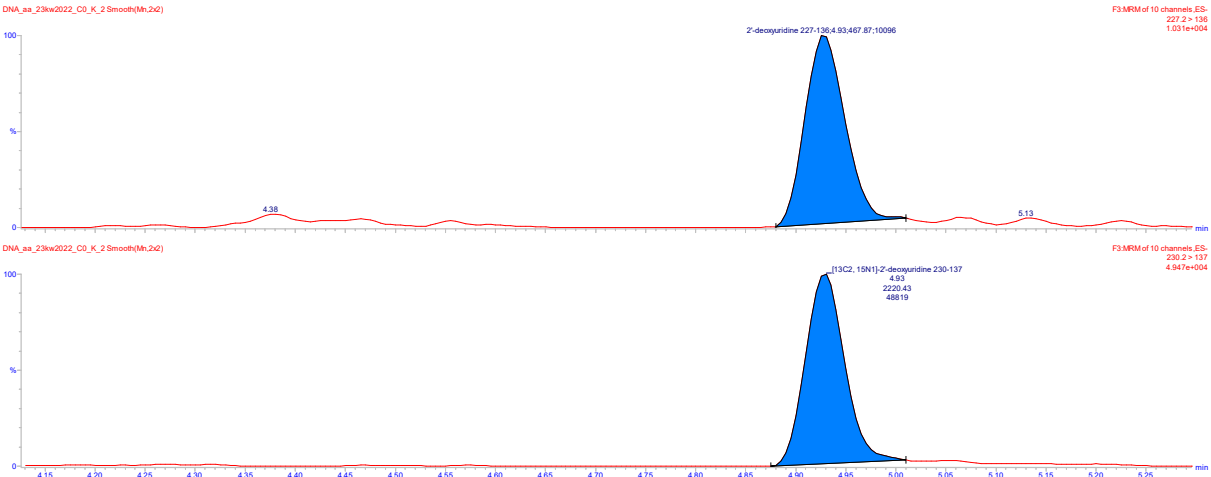
PS NP 44 nm 10 µg/ml



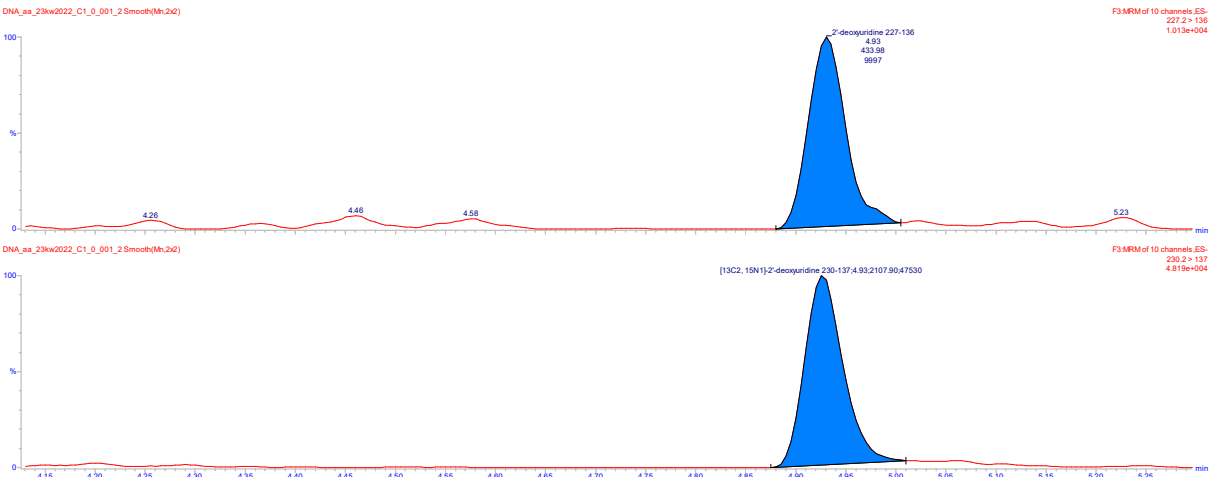
PS NP 44 nm 100 µg/ml



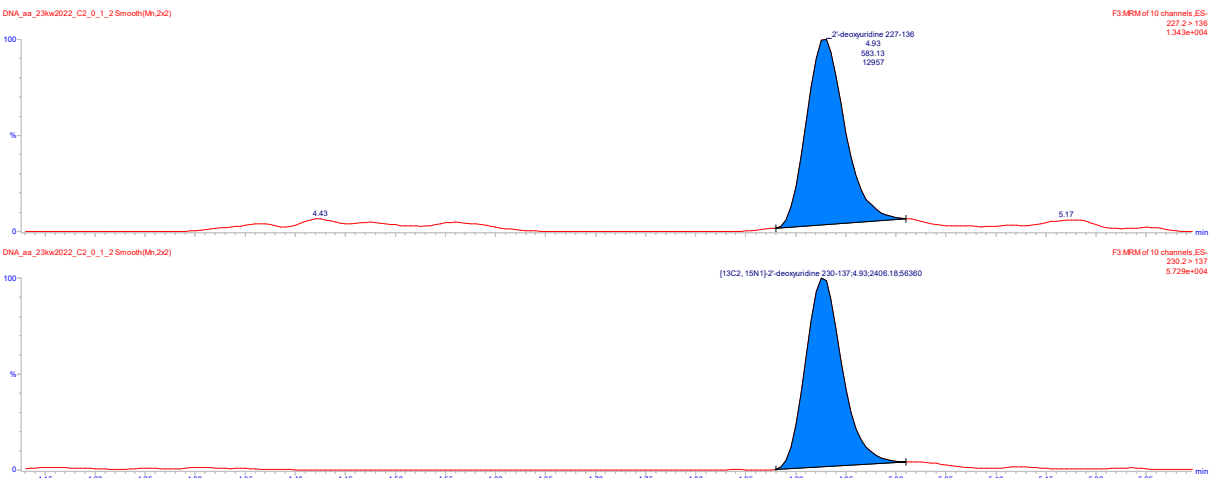
PS NP 72 nm Control



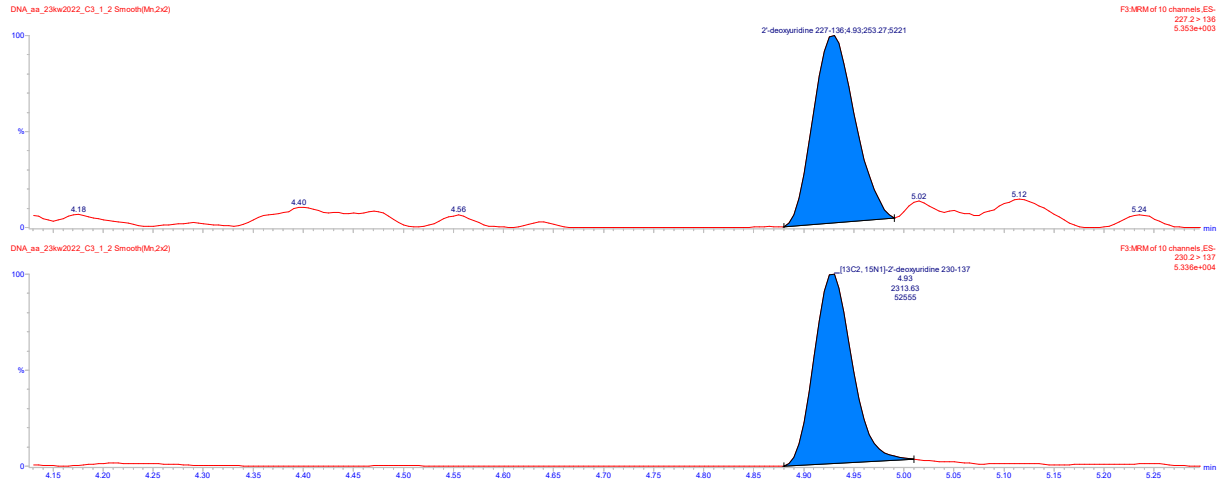
PS NP 72 nm 0,001 µg/ml



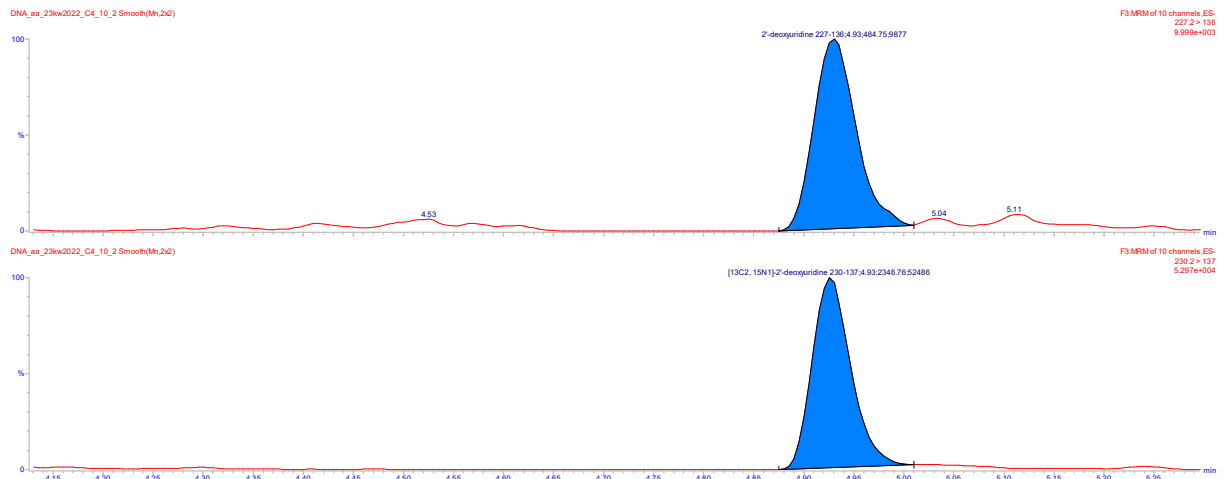
PS NP 72 nm 0,1 µg/ml



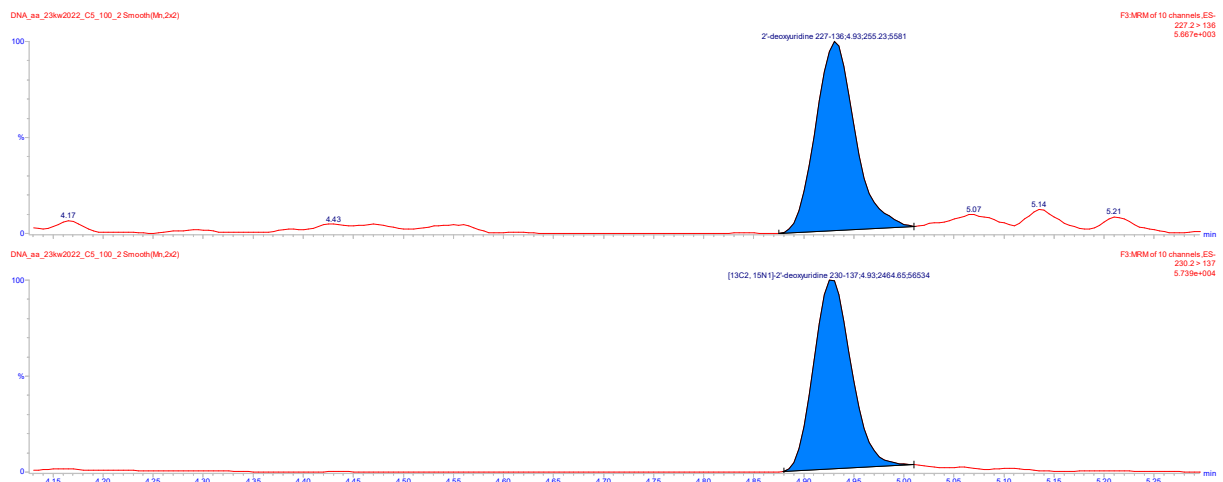
PS NP 72 nm 1 µg/ml



PS NP 72 nm 10 µg/ml

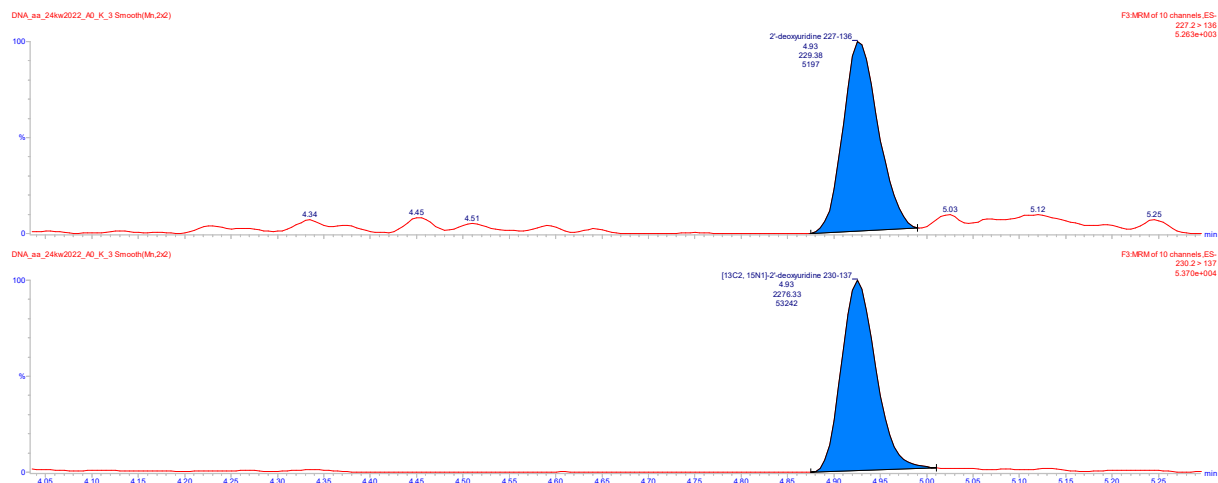


PS NP 72 nm 100 µg/ml

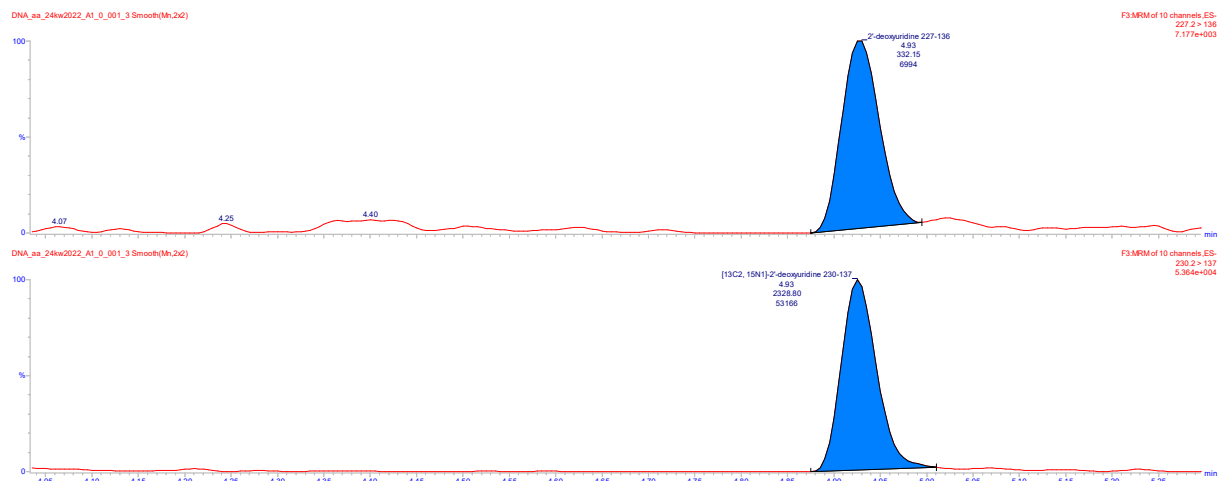


24 kwietnia 2022 series 3

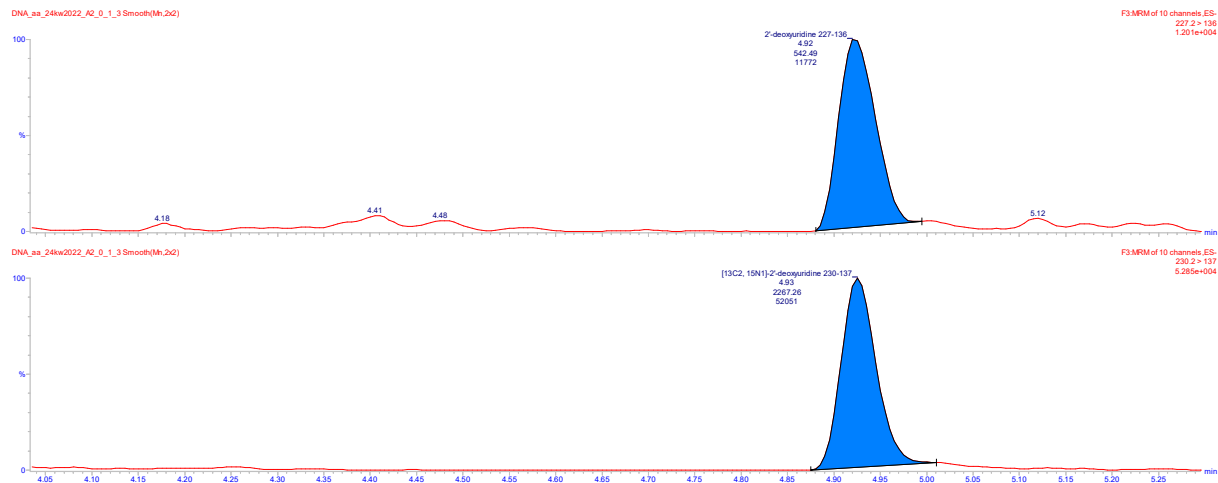
PS NP 29 nm Control



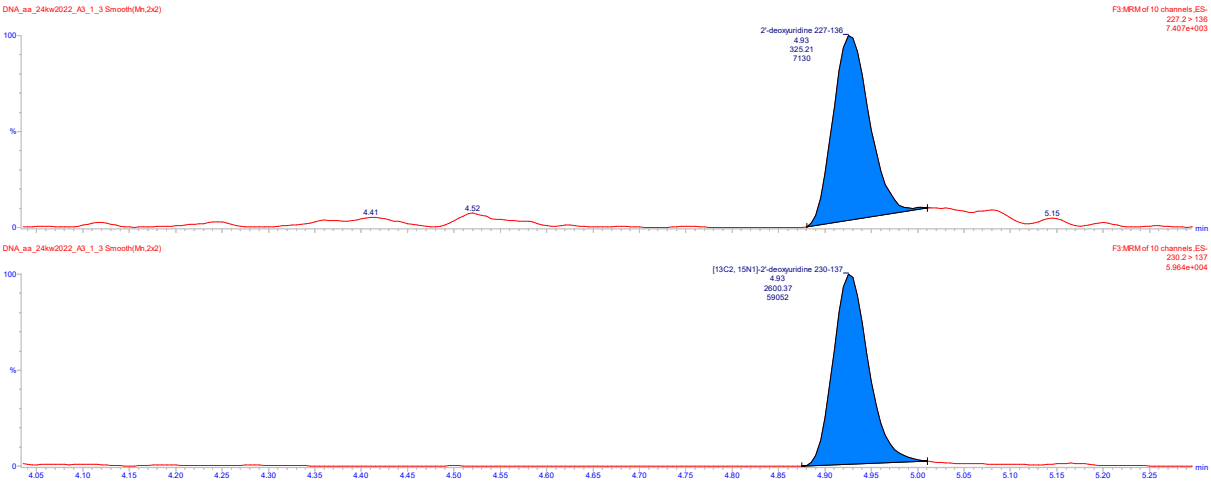
PS NP 29 nm 0,001 µg/ml



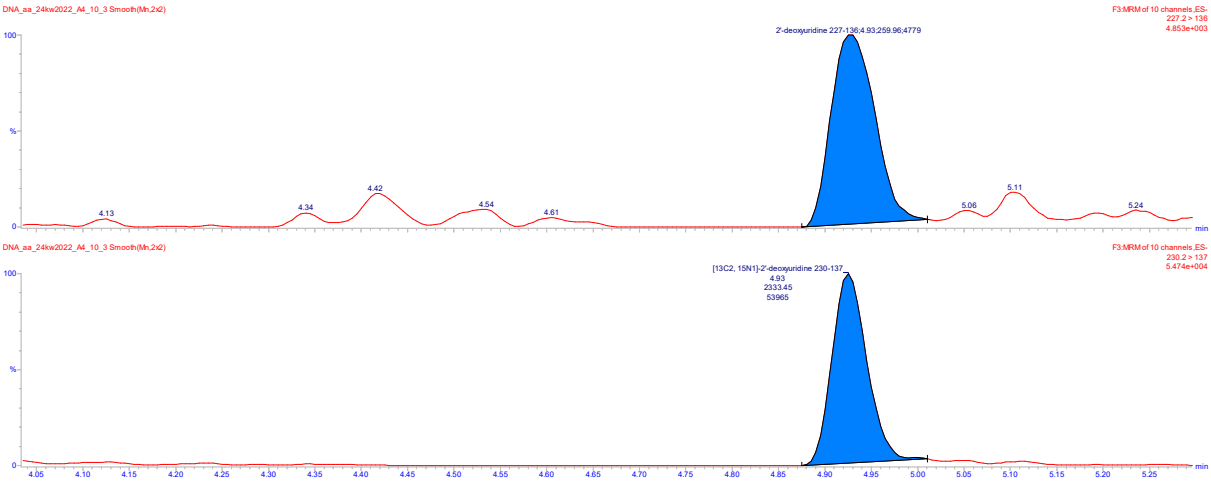
PS NP 29 nm 0,1 µg/ml



PS NP 29 nm 1 µg/ml



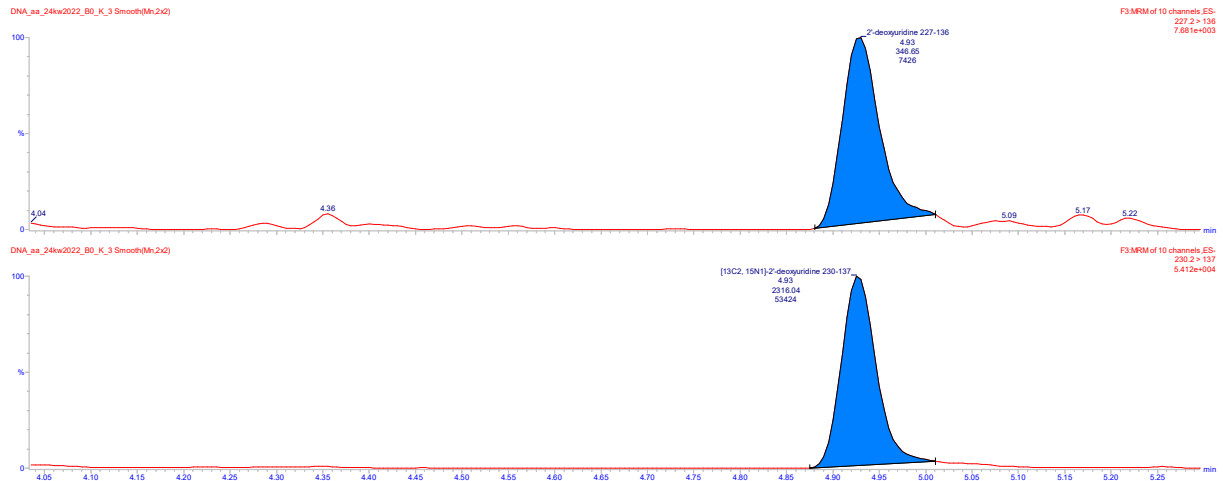
PS NP 29 nm 10 µg/ml



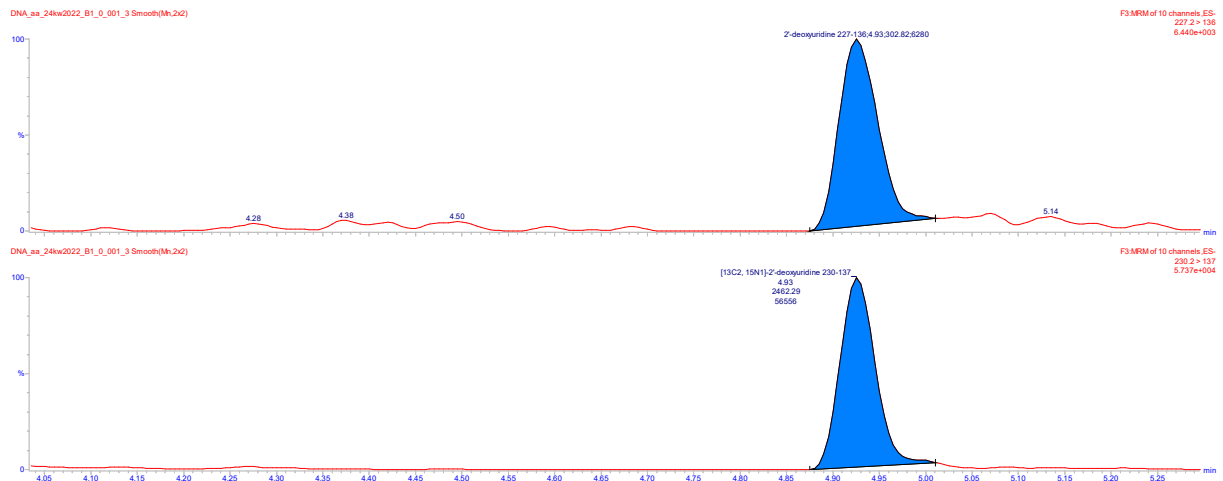
PS NP 29 nm 100 µg/ml

no data

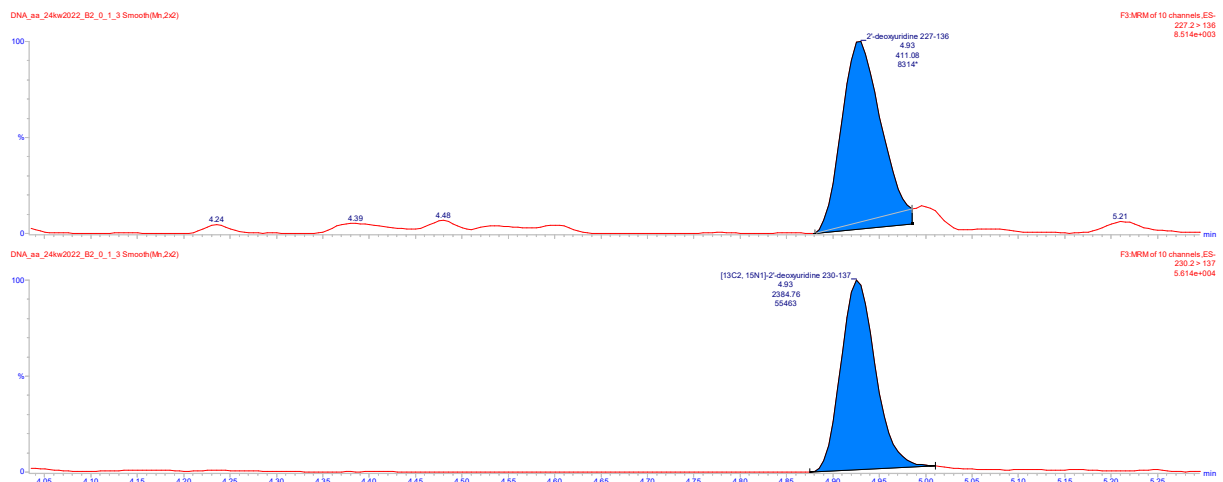
PS NP 44 nm Control



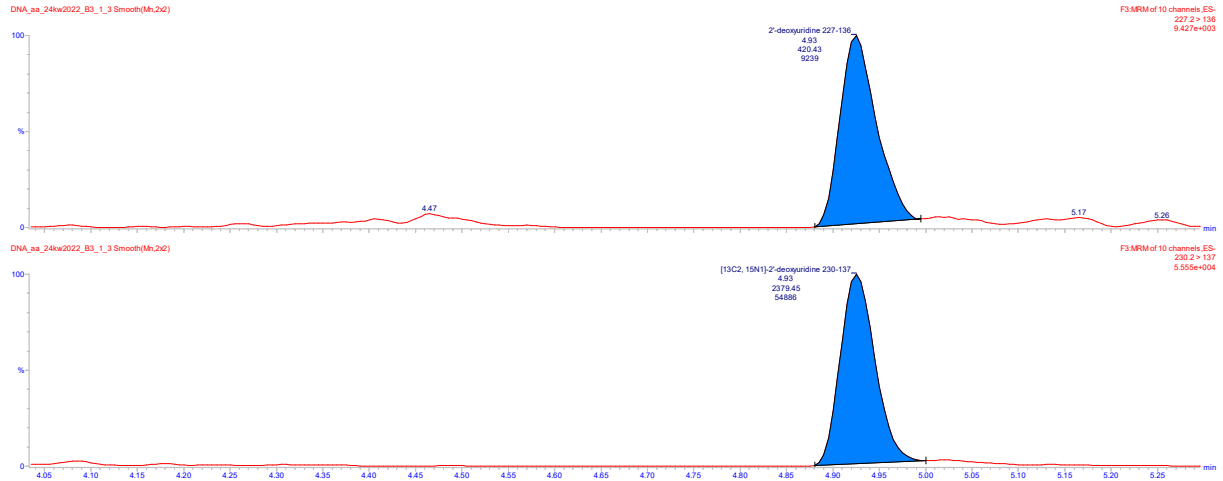
PS NP 44 nm 0,001 µg/ml



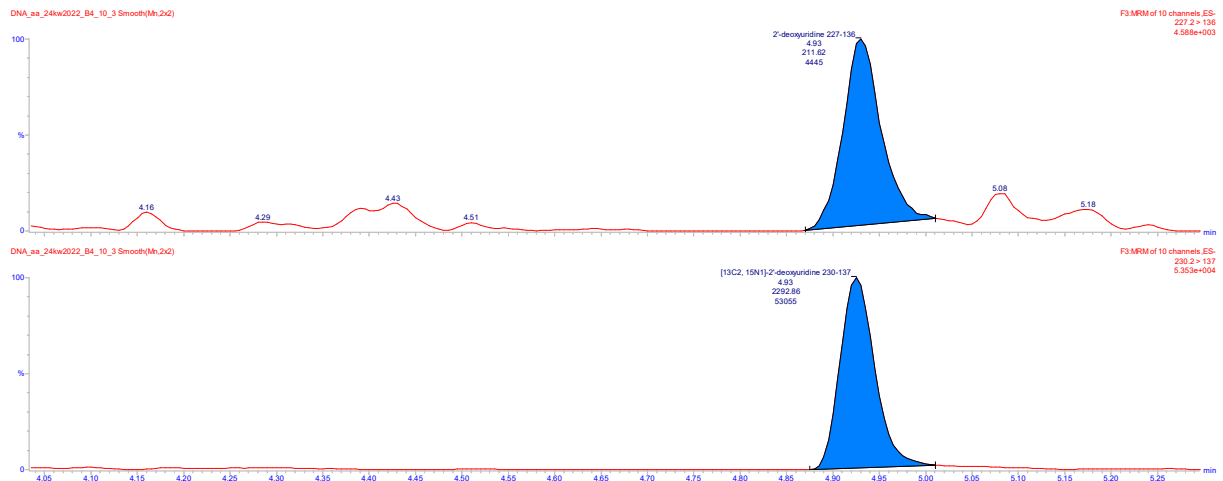
PS NP 44 nm 0,1 µg/ml



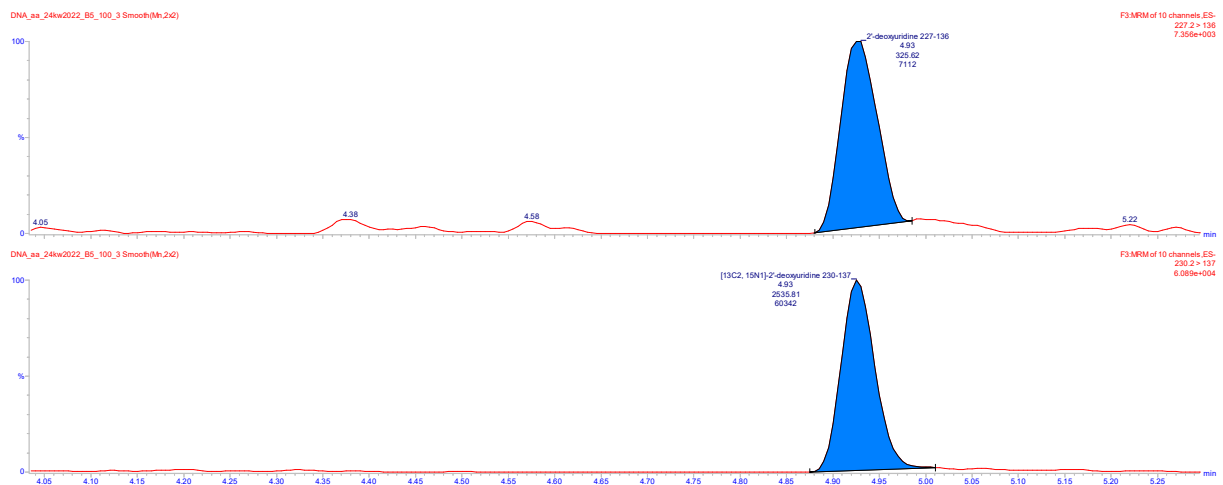
PS NP 44 nm 1 µg/ml



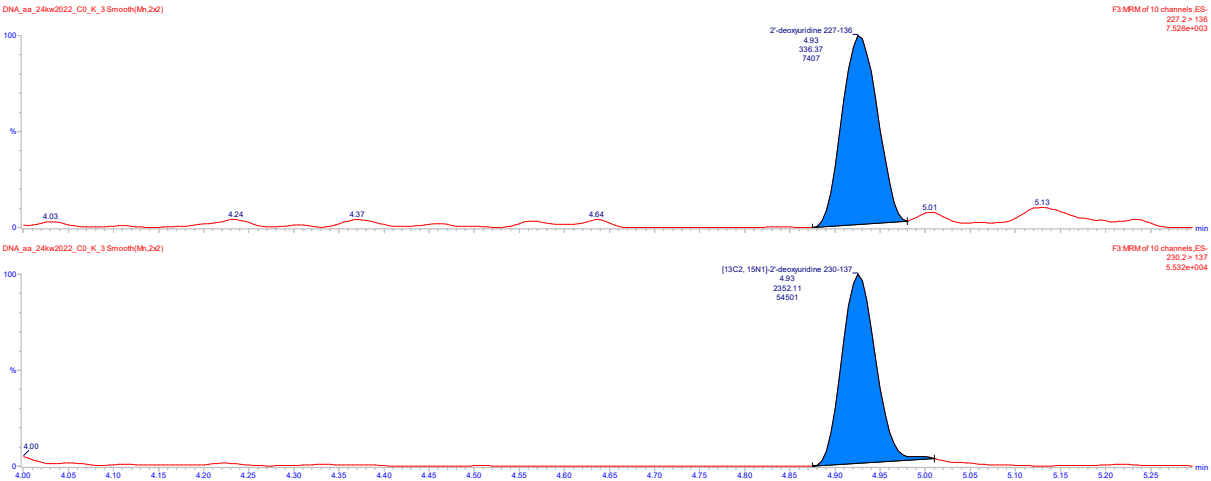
PS NP 44 nm 10 µg/ml



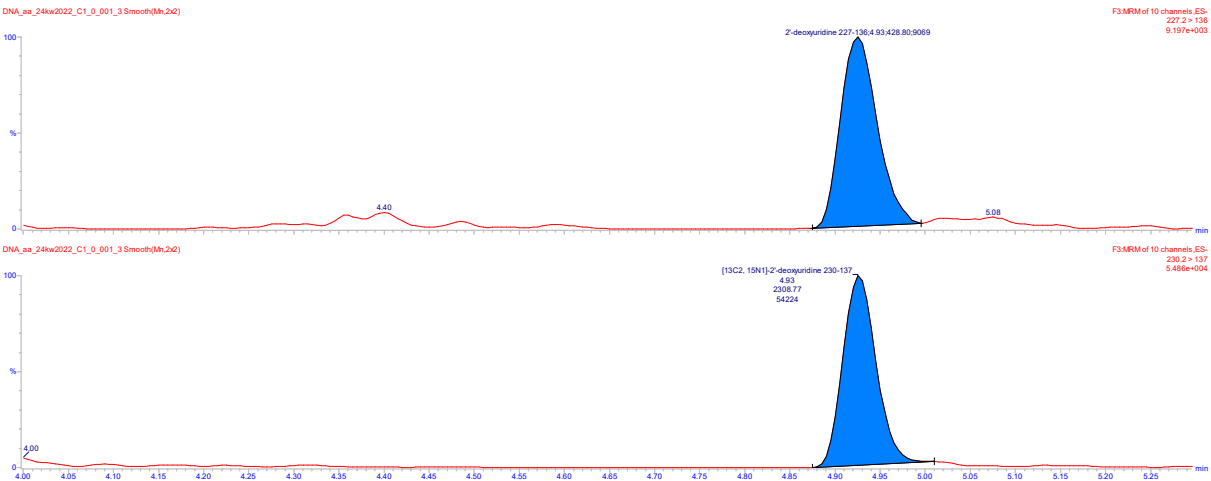
PS NP 44 nm 100 µg/ml



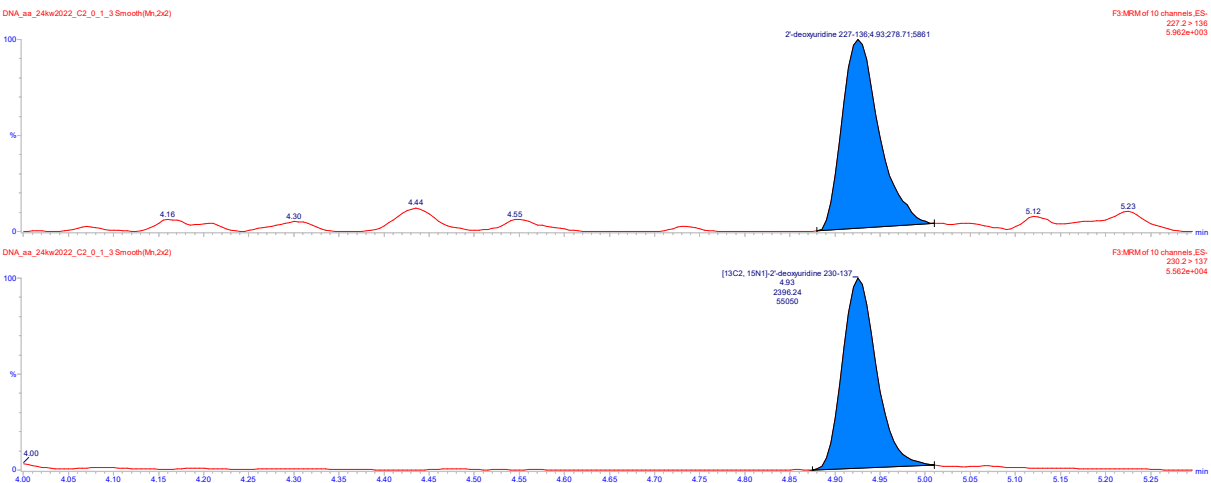
PS NP 72 nm Control



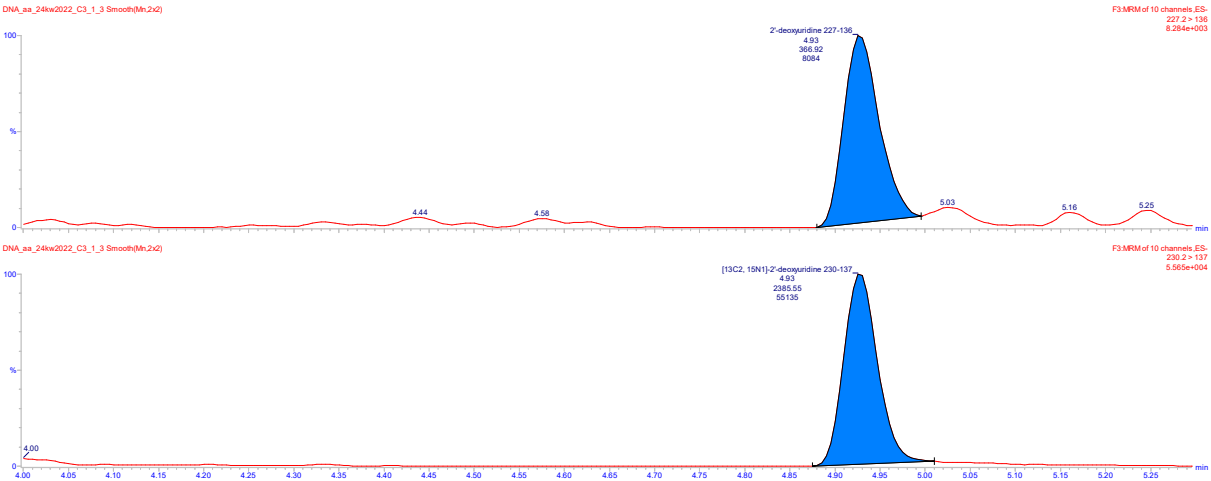
PS NP 72 nm 0,001 µg/ml



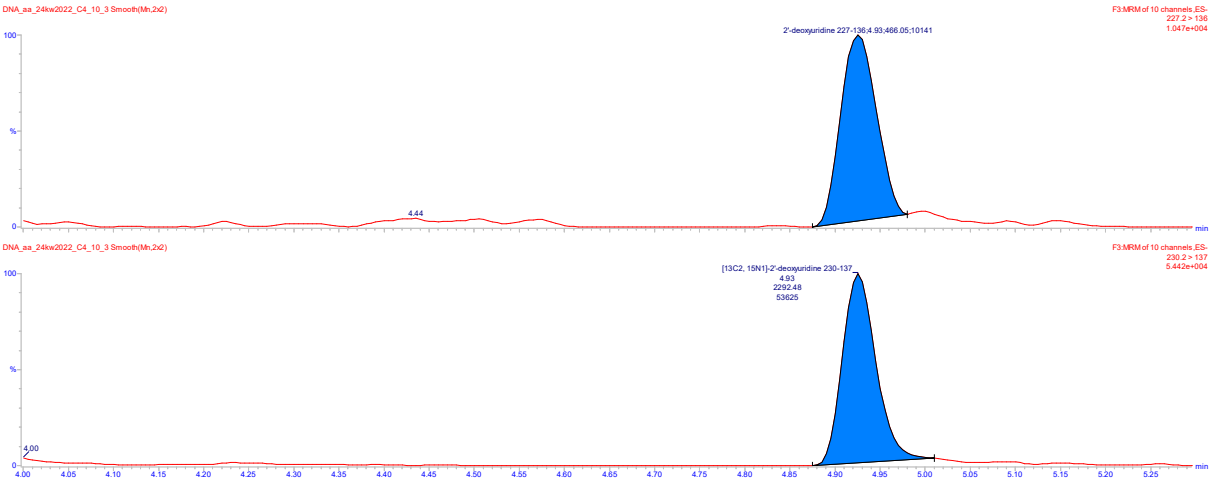
PS NP 72 nm 0,1 µg/ml



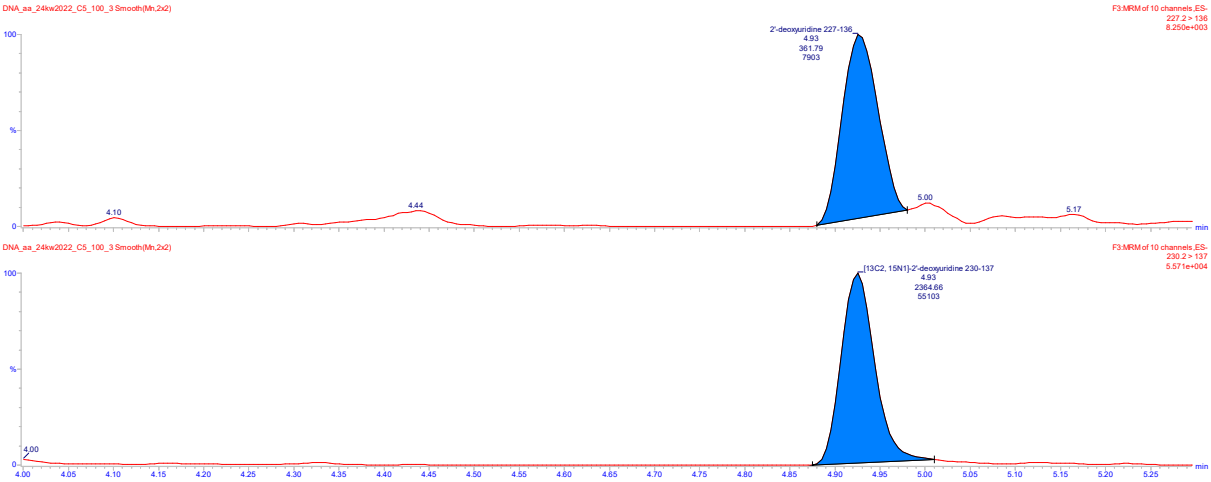
PS NP 72 nm 1 µg/ml



PS NP 72 nm 10 µg/ml

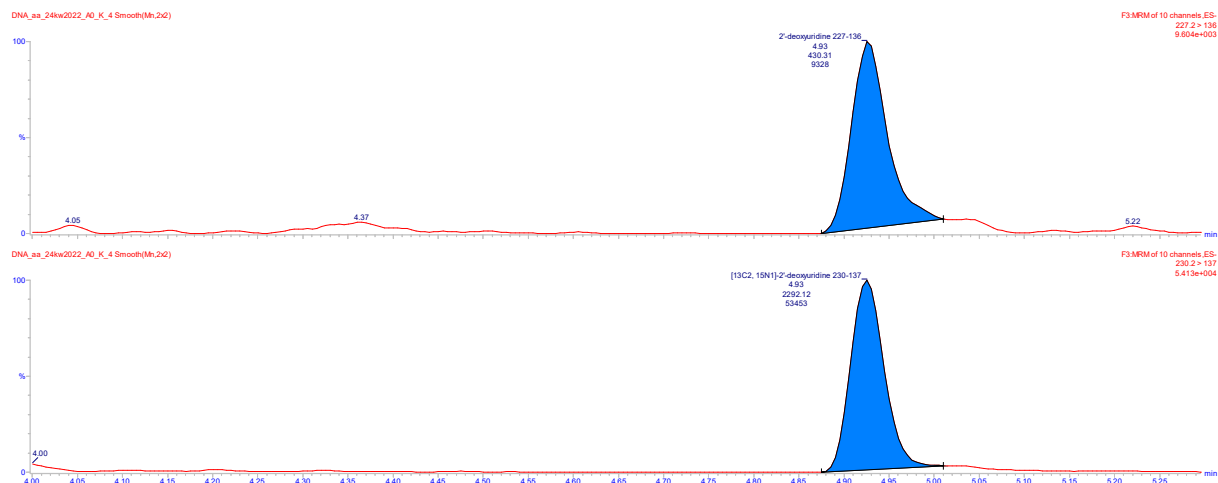


PS NP 72 nm 100 µg/ml

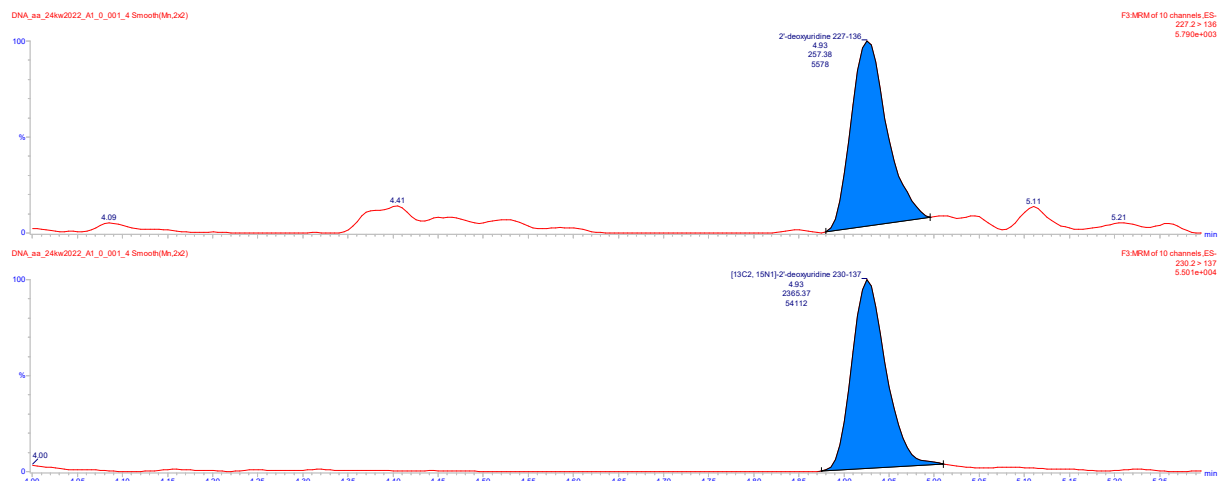


24 kwietnia 2022 series 4

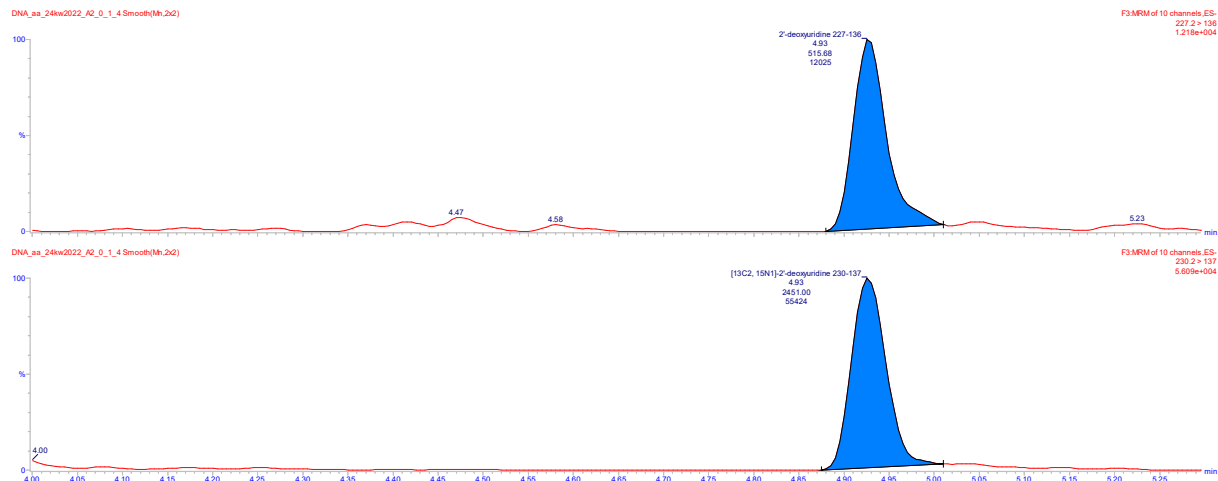
PS NP 29 nm Control



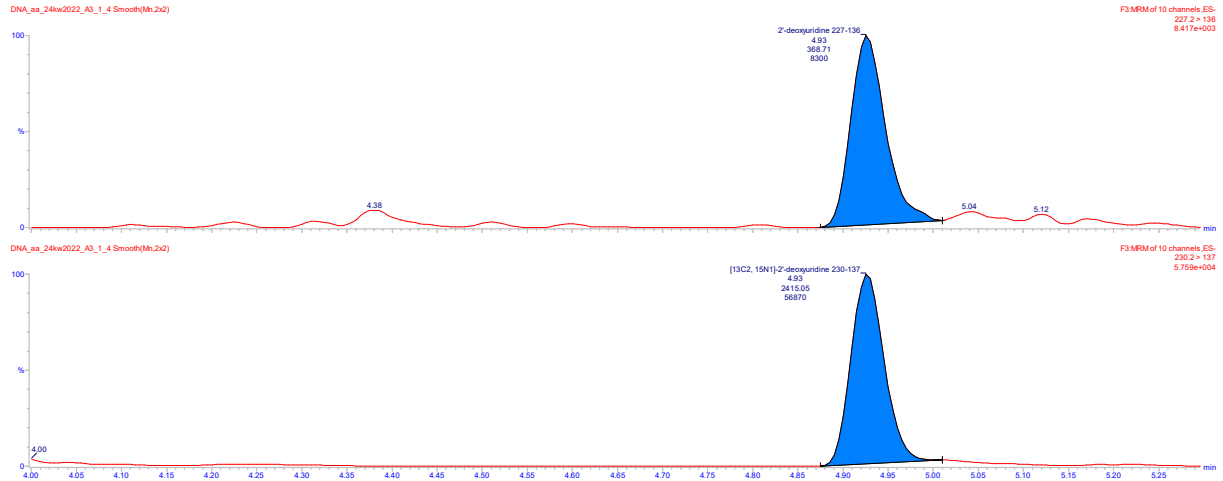
PS NP 29 nm 0,001 µg/ml



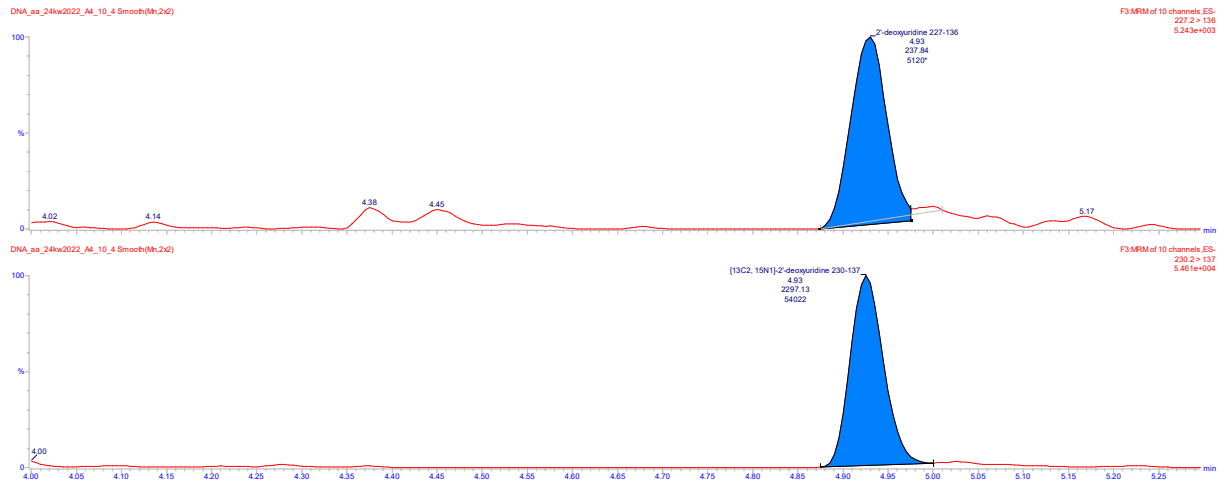
PS NP 29 nm 0,1 µg/ml



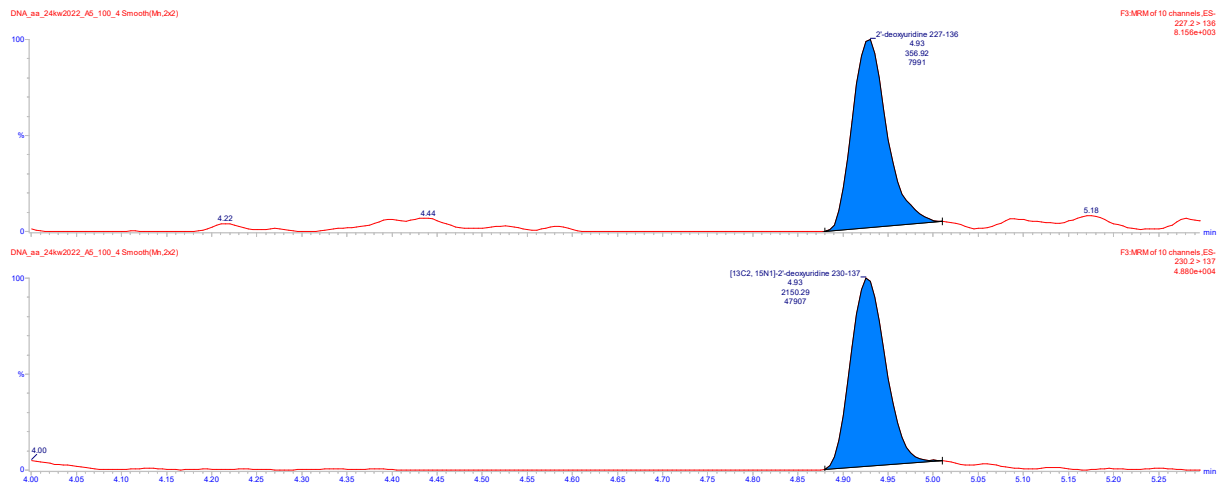
PS NP 29 nm 1 µg/ml



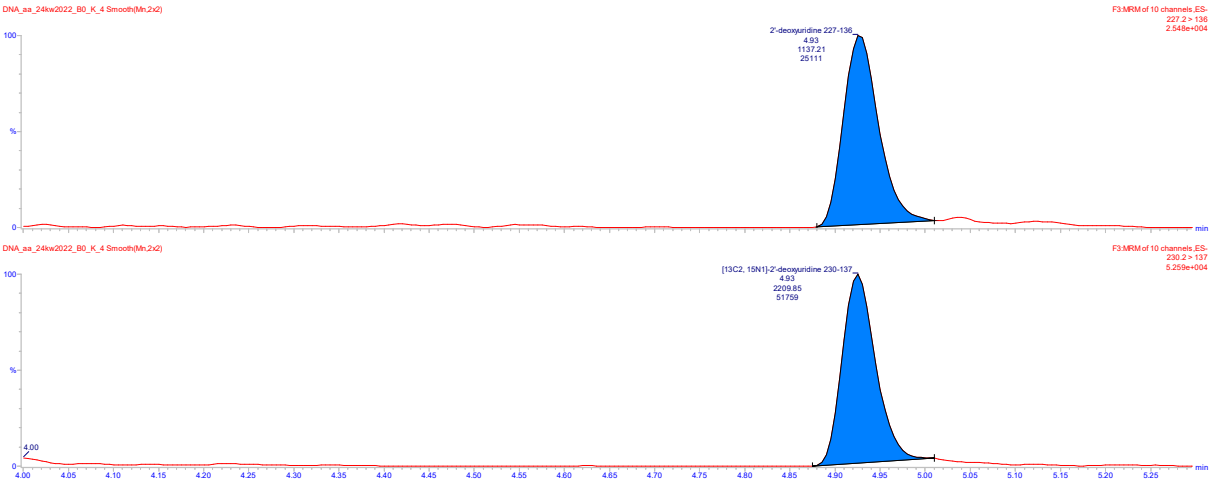
PS NP 29 nm 10 µg/ml



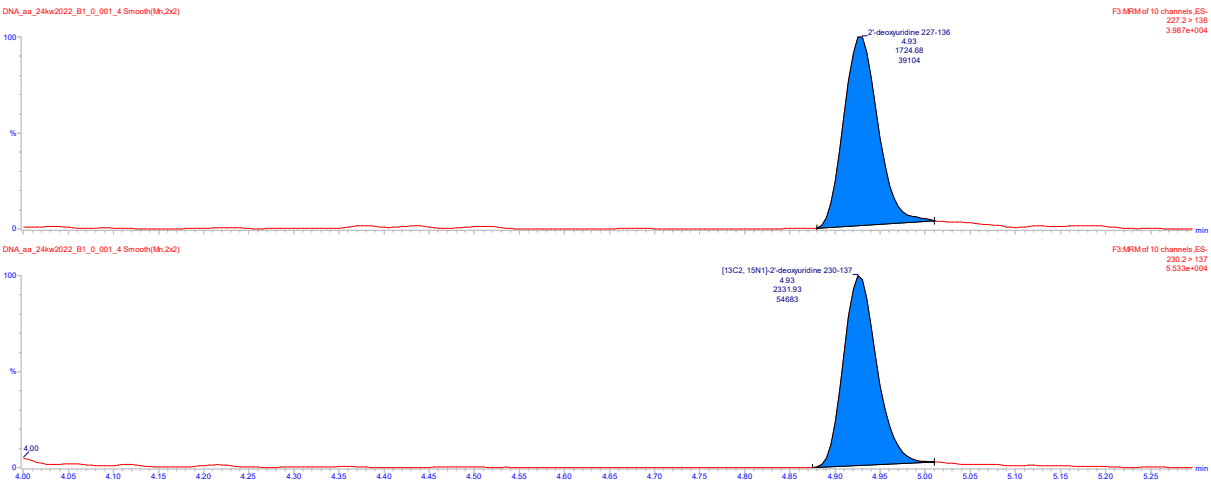
PS NP 29 nm 100 µg/ml



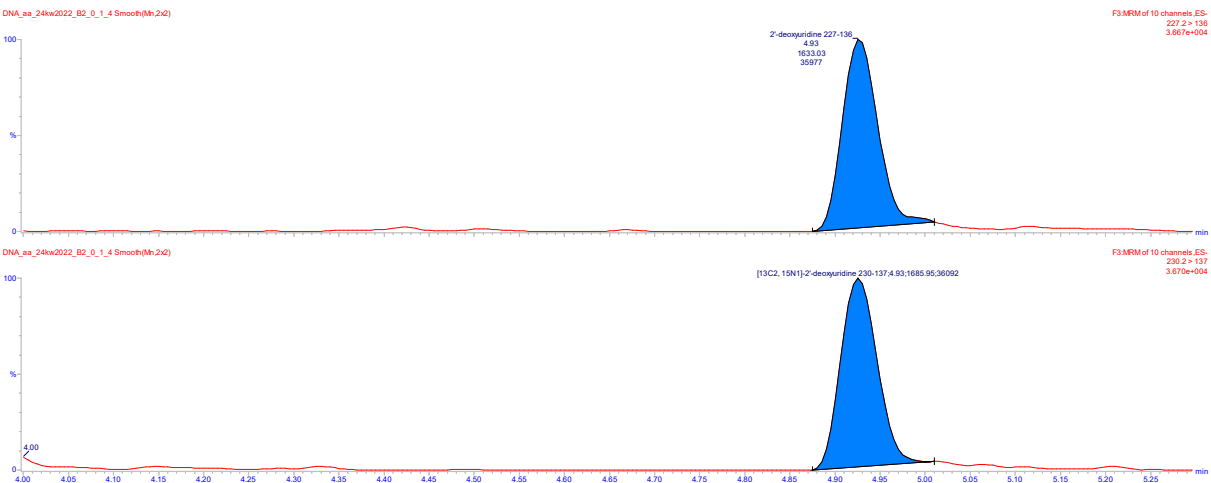
PS NP 44 nm Control



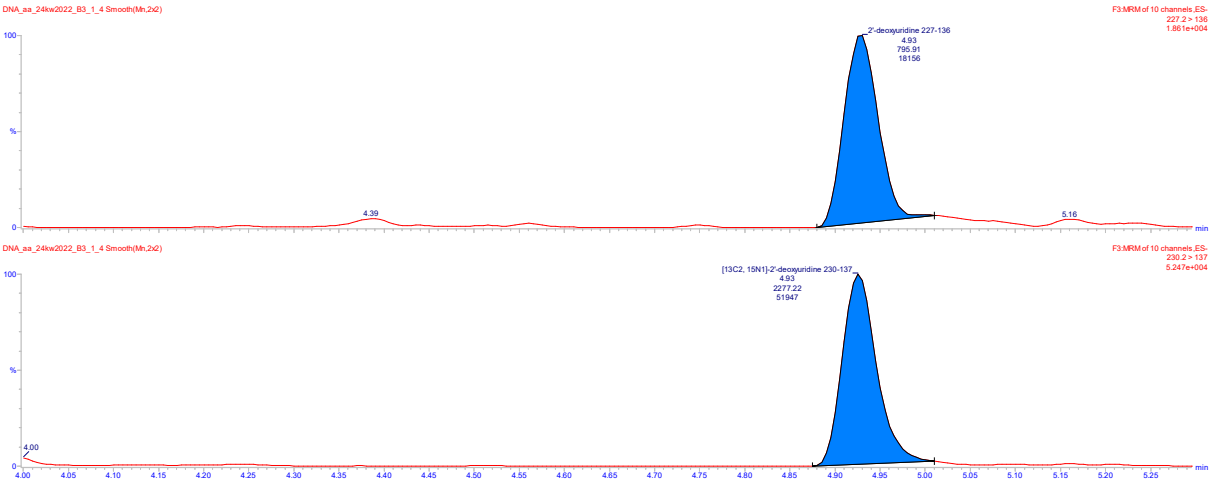
PS NP 44 nm 0,001 µg/ml



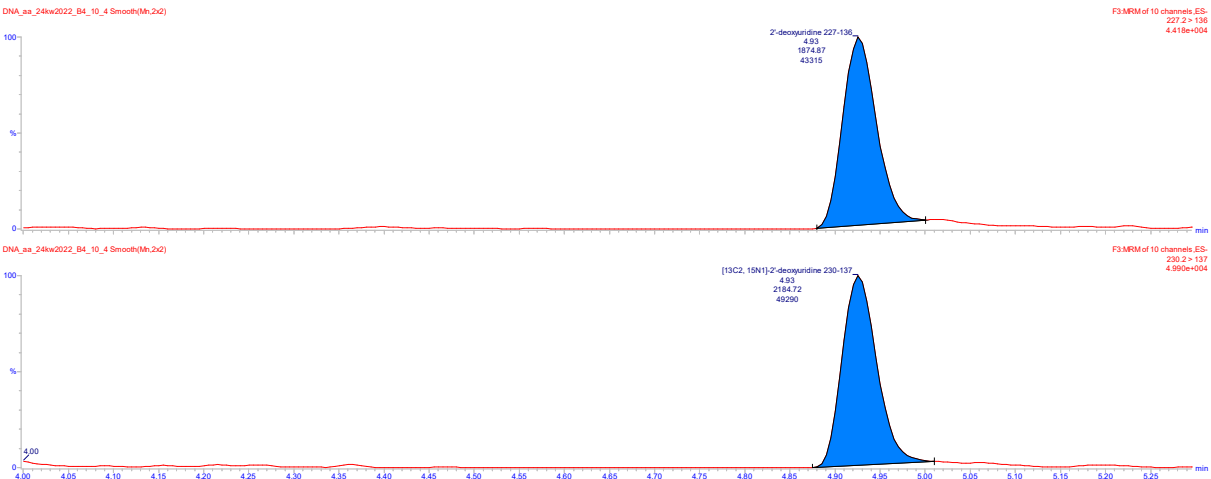
PS NP 44 nm 0,1 µg/ml



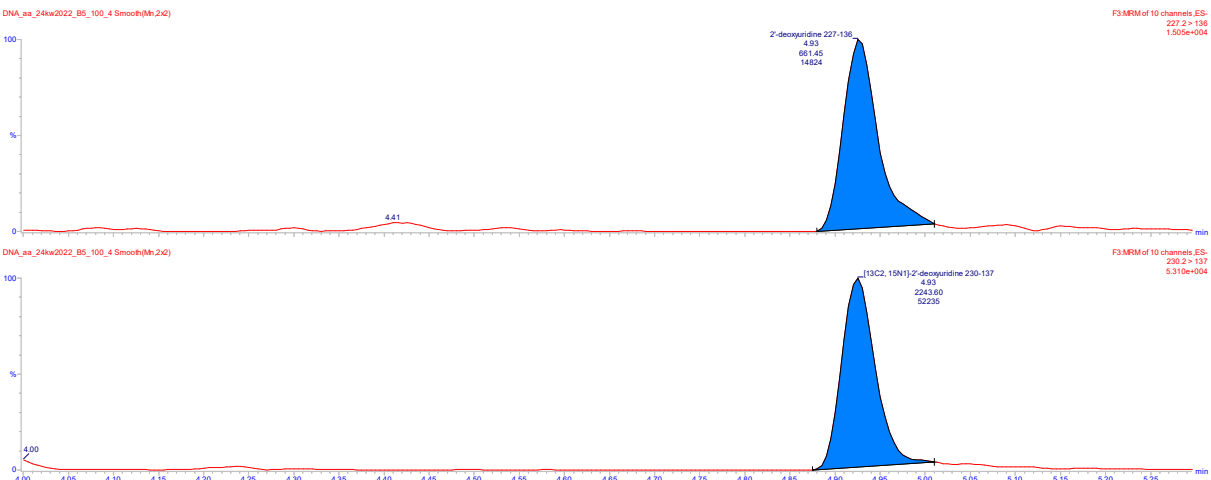
PS NP 44 nm 1 µg/ml



PS NP 44 nm 10 µg/ml



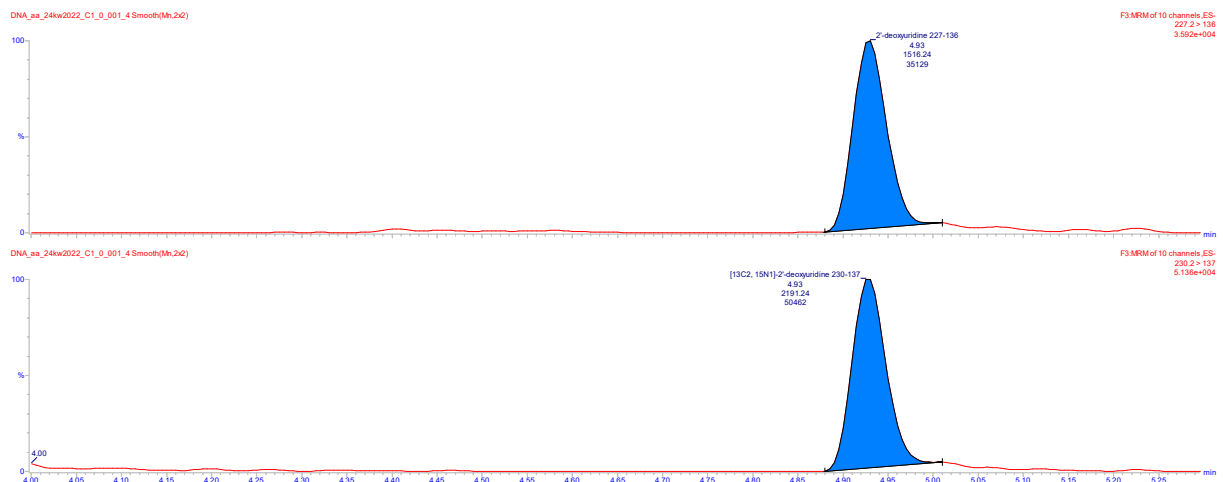
PS NP 44 nm 100 µg/ml



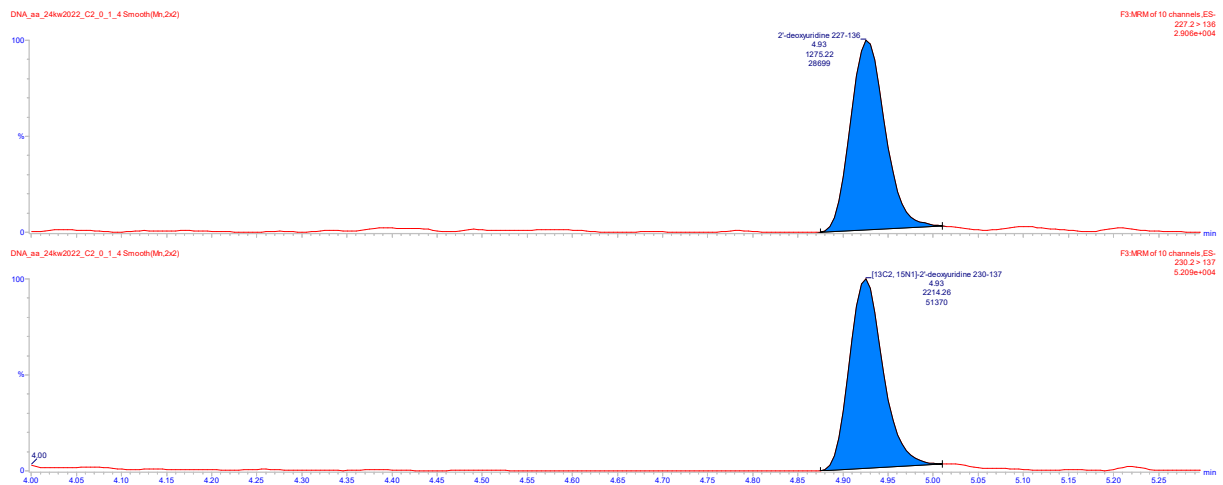
PS NP 72 nm Control

no data

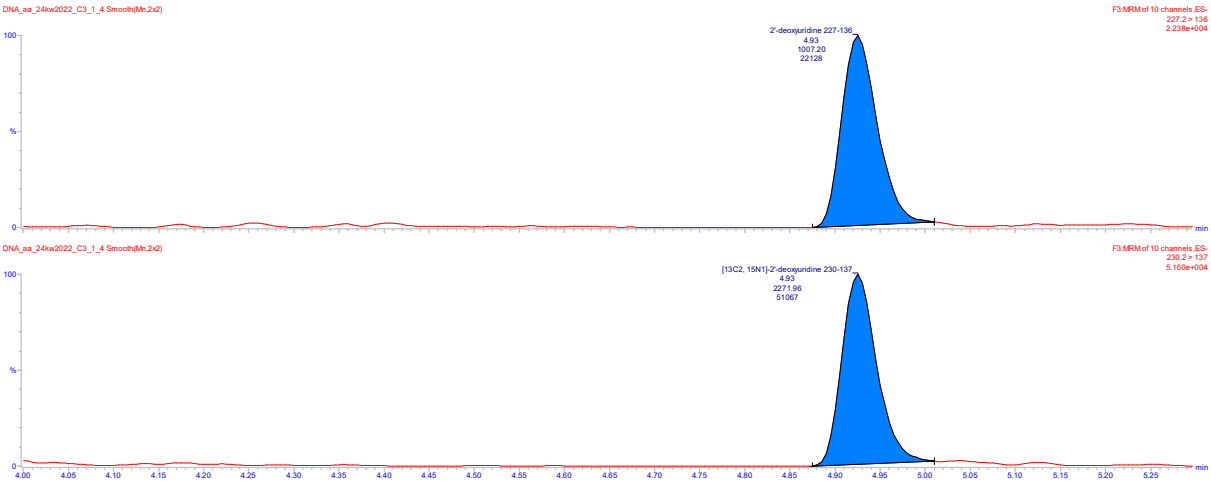
PS NP 72 nm 0,001 µg/ml



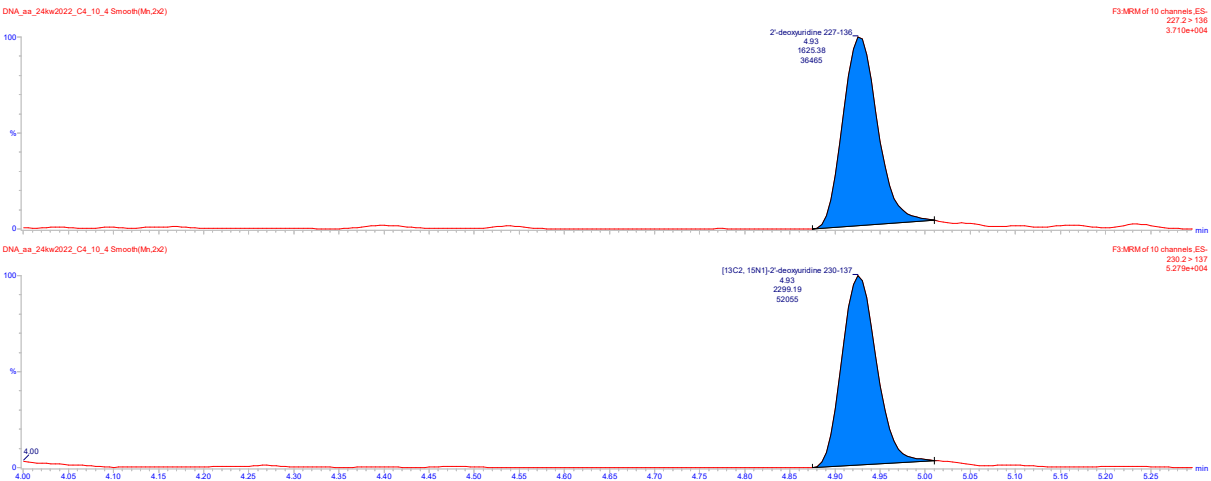
PS NP 72 nm 0,1 µg/ml



PS NP 72 nm 1 µg/ml



PS NP 72 nm 10 µg/ml



PS NP 72 nm 100 µg/ml

